

OPA2830 双通道、低功耗、单电源、宽带运算放大器

1 特性

- 高带宽：
 - 230MHz (增益 = +1)
 - 100MHz (增益 = +2)
- 低电源电流：8.8mA ($V_S = 5V$)
- 灵活的电源电压范围：
 - 双电源：±1.5V 至 ±5.5V
 - 单电源：3V 至 11V
- 输入范围包括负单电源接地
- 输出摆幅：5V 电源上为 4.82V
- 高压摆率：500V/μs
- 低输入电压噪声：9.2nV/√Hz
- 封装：VSSOP-8

2 应用

- 单电源模数转换器 (ADC) 输入缓冲器
- 单电源视频线路驱动器
- CCD 成像通道
- 低功耗超声波
- PLL 集成器
- 便携式消费类电子产品

3 说明

OPA2830 是一款双通道、低功耗、单电源、宽带、电压反馈放大器，专为由 3V 或 5V 单电源供电而设计。

该器件还支持在 ±5V 或 +10V 电源下工作。输入范围扩展至负电源以下和正电源 1.8V 以内。使用互补共发射极输出可在驱动 150Ω 时提供任一电源 25mV 以内的输出摆幅。高输出驱动电流 (±75mA) 以及低差分增益和相位误差也使该器件非常适合单电源消费类视频产品。

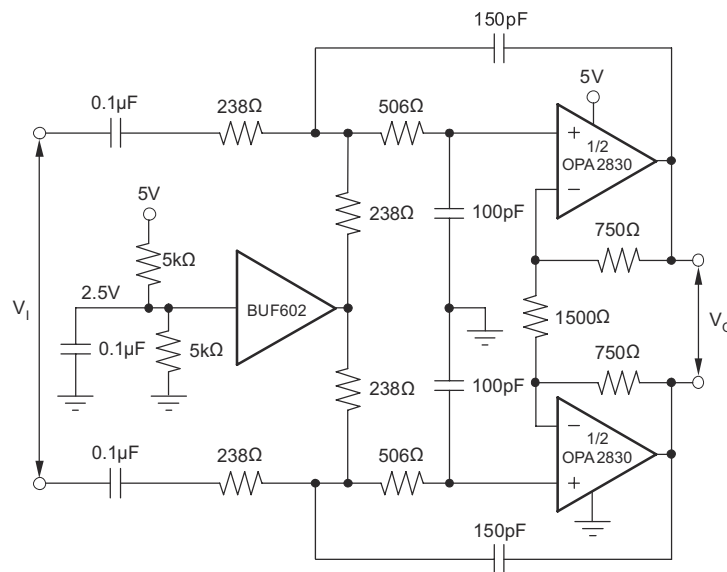
高增益带宽积 (100MHz) 和压摆率 (500V/μs) 提供低失真操作，使 OPA2830 非常适合用作 3V 和 5V CMOS ADC 的输入缓冲器级。与其他低功耗、单电源放大器不同，失真性能会随着信号摆幅的减小而提高。9.2nV/√Hz 的低输入电压噪声支持宽动态范围运行。

OPA2830 采用业界通用的 SO-8 封装。OPA2830 还采用小型 VSSOP-8 封装。对于固定增益和线路驱动器应用，请考虑采用 [OPA2832](#)。

封装信息

器件型号 ⁽¹⁾	封装 ⁽²⁾	封装尺寸 ⁽³⁾
OPA2830	D (SOIC, 8)	4.9mm × 6mm
	DGK (VSSOP, 8)	3mm × 3mm

- (1) 请参阅节 4。
- (2) 有关更多信息，请参阅节 11。
- (3) 封装尺寸 (长 × 宽) 为标称值，并包括引脚 (如适用)。



直流耦合 3V ADC 驱动器



内容

1 特性	1	6.12 典型特性： $V_S = 3V$	20
2 应用	1	6.13 典型特性： $V_S = 3V$ ，差分配置.....	23
3 说明	1	7 参数测量信息	24
4 器件比较表	2	8 应用和实施	25
5 引脚配置和功能	2	8.1 应用信息.....	25
6 规格	3	8.2 电源相关建议.....	39
6.1 绝对最大额定值.....	3	8.3 布局.....	39
6.2 ESD 等级.....	3	9 器件和文档支持	41
6.3 建议运行条件.....	3	9.1 器件支持.....	41
6.4 热性能信息.....	3	9.2 接收文档更新通知.....	41
6.5 电气特性 $V_S = \pm 5V$	4	9.3 支持资源.....	41
6.6 电气特性 $V_S = 5V$	6	9.4 商标.....	41
6.7 电气特性 $V_S = 3V$	8	9.5 静电放电警告.....	41
6.8 典型特性： $V_S = \pm 5V$	11	9.6 术语表.....	41
6.9 典型特性： $V_S = \pm 5V$ ，差分配置.....	14	10 修订历史记录	41
6.10 典型特性： $V_S = 5V$	15	11 机械、封装和可订购信息	42
6.11 典型特性： $V_S = 5V$ ，差分配置.....	19		

4 器件比较表

说明	单通道	双通道	三通道	四通道
轨到轨	—	OPA2830	—	OPA4830
轨到轨固定增益	OPA832	OPA2832	OPA3832	—
通用 (1800V/ μs 压摆率)	OPA690	OPA2690	OPA3690	—
低噪声、高直流精度	OPA820	OPA2822	—	OPA4820

5 引脚配置和功能

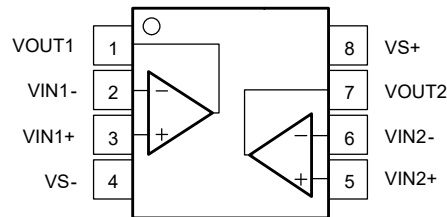


图 5-1. D 封装，8 引脚 SOIC 和 DGK 封装 (顶视图)

表 5-1. 引脚功能

引脚		类型	说明
名称	编号		
VIN1 -	2	输入	负 (反相) 输入信号，通道 1
VIN1+	3	输入	正 (同相) 输入信号，通道 1
VIN2 -	6	输入	负 (反相) 输入信号，通道 2
VIN2+	5	输入	正 (同相) 输入信号，通道 2
VOUT1	1	输出	输出，通道 1
VOUT2	7	输出	输出，通道 2
VS -	4	—	负 (最低) 电源
VS+	8	—	正 (最高) 电源

6 规格

6.1 绝对最大额定值

在自然通风条件下的工作温度范围内测得 (除非另有说明) ⁽¹⁾

		最小值	最大值	单位
V_{S-} 至 V_{S+}	电源		± 6.5	V_{DC}
	内部功率耗散	请参阅“热性能信息”表		
V_{ID}	差分输入电压		± 2.5	V
V_I	输入电压	$(V_{S-}) - 0.5V$	$(V_{S+}) + 0.3V$	V
T_J	结温		150	$^{\circ}C$
T_{stg}	贮存温度	-65	125	$^{\circ}C$

(1) 超出绝对最大额定值运行会对器件造成永久损坏。绝对最大额定值并不表示器件在这些条件下或在建议运行条件以外的任何其他条件下能够正常运行。如果超出建议运行条件但在绝对最大额定值范围内使用,器件可能不会完全正常运行,这可能影响器件的可靠性、功能和性能并缩短器件寿命。

6.2 ESD 等级

			值	单位
$V_{(ESD)}$	静电放电	人体放电模型 (HBM), 符合 ANSI/ESDA/JEDEC JS-001 标准 ⁽¹⁾	± 2000	V
		充电器件模型 (CDM), 符合 JEDEC 规范 JESD22-C101 ⁽²⁾	± 1000	

(1) JEDEC 文档 JEP155 指出: 500V HBM 时能够在标准 ESD 控制流程下安全生产。

(2) JEDEC 文档 JEP157 指出: 250V CDM 时能够在标准 ESD 控制流程下安全生产。

6.3 建议运行条件

在自然通风条件下的工作温度范围内测得 (除非另有说明)

		最小值	标称值	最大值	单位
V_S	总电源电压	3	10	11	V
T_A	工作温度	-40		85	$^{\circ}C$

6.4 热性能信息

热指标 ⁽¹⁾		OPA2830		单位
		D (SOIC)	DGK (VSSOP)	
		8 引脚	8 引脚	
$R_{\theta JA}$	结至环境热阻	122.6	144.1	$^{\circ}C/W$
$R_{\theta JC(top)}$	结至外壳 (顶部) 热阻	62.2	56.2	$^{\circ}C/W$
$R_{\theta JB}$	结至电路板热阻	70.1	77.6	$^{\circ}C/W$
ψ_{JT}	结至顶部特征参数	11.9	3.9	$^{\circ}C/W$
ψ_{JB}	结至电路板特征参数	69.2	76.4	$^{\circ}C/W$
$R_{\theta JC(bot)}$	结至外壳 (底部) 热阻	不适用	不适用	$^{\circ}C/W$

(1) 有关新旧热指标的更多信息, 请参阅 [半导体和 IC 封装热指标](#) 应用报告。

6.5 电气特性 $V_S = \pm 5V$

在 $T_A = 25^\circ C^{(1)}$ 、 $G = +2$ 、 $R_F = 750\Omega$ 、 $R_L = 150\Omega$ (连接至 GND)、 $R_{SRC} = 375\Omega$ 时测得 (除非另有说明)

参数	测试条件	最小值	典型值	最大值	单位
交流性能					
小信号带宽	$G = +1, V_O \leq 0.2V_{PP}$		290		MHz
	$G = +2, V_O \leq 0.2V_{PP}$	66	100		
	$G = +5, V_O \leq 0.2V_{PP}$	16	30		
	$G = +10, V_O \leq 0.2V_{PP}$	8	13		
增益带宽积	$G \geq +10$	80	130		MHz
增益为 +1 时的峰值	$V_O \leq 0.2V_{PP}$		4		dB
压摆率	$G = +2, 2V$ 阶跃, 20% 至 80%	275	560		V/ μs
上升时间	0.5V 阶跃, 20% 至 80%		3.4	5.9	ns
下降时间	0.5V 阶跃, 20% 至 80%		3.6	6.0	ns
精度达 0.1% 的稳定时间	$G = +2, 1V$ 阶跃		43	64	ns
谐波失真	二次谐波, $V_O = 2V_{PP}, f = 5MHz, R_L = 150\Omega$	-55	-62		dBc
	二次谐波, $V_O = 2V_{PP}, f = 5MHz, R_L \geq 500\Omega$	-58	-66		
	三次谐波, $V_O = 2V_{PP}, f = 5MHz, R_L = 150\Omega$	-50	-59		
	三次谐波, $V_O = 2V_{PP}, f = 5MHz, R_L \geq 500\Omega$	-65	-77		
输入电压噪声	$f > 1MHz$		5.6	10.6	nV/ \sqrt{Hz}
	$f > 1MHz, T_A = -40^\circ C$ 至 $+85^\circ C$			11.6	
输入电流噪声	$f > 1MHz$		3.7	5.4	pA/ \sqrt{Hz}
	$f > 1MHz, T_A = -40^\circ C$ 至 $+85^\circ C$			6.4	
直流性能					
开环电压增益	$V_O = \pm 1V$	66	74		dB
	$V_O = \pm 1V, T_A = -40^\circ C$ 至 $+85^\circ C$	64			
输入失调电压			± 1.5	± 7.5	mV
	$T_A = -40^\circ C$ 至 $+85^\circ C$			± 9.3	
平均失调电压漂移	$T_A = -40^\circ C$ 至 $+85^\circ C$			± 27	$\mu V/^\circ C$
输入偏置电流	$V_{CM} = 2V$		5	18	μA
	$V_{CM} = 2V, T_A = -40^\circ C$ 至 $+85^\circ C$			19	
输入偏置电流漂移	$V_{CM} = 0V, T_A = -40^\circ C$ 至 $+85^\circ C$			± 46	nA/ $^\circ C$
输入失调电流	$V_{CM} = 2V$		± 0.2	± 1.1	μA
	$V_{CM} = 2V, T_A = -40^\circ C$ 至 $+85^\circ C$			± 1.5	
输入失调电流漂移	$V_{CM} = 0V, T_A = -40^\circ C$ 至 $+85^\circ C$			± 6	nA/ $^\circ C$
输入					
负输入电压	0.4V 阶跃		-5.5	-5.4	V
	0.4V 阶跃, $T_A = -40^\circ C$ 至 $+85^\circ C$			-5.2	
正输入电压	0.4V 阶跃	3.1	3.2		V
	0.4V 阶跃, $T_A = -40^\circ C$ 至 $+85^\circ C$	2.9			
共模抑制比 (CMRR)	以输入为基准	76	80		dB
	以输入为基准, $T_A = -40^\circ C$ 至 $+85^\circ C$	71			
输入阻抗	差分模式		10 2.1		k Ω pF
	共模		400 1.2		

6.5 电气特性 $V_S = \pm 5V$ (续)

在 $T_A = 25^\circ C^{(1)}$ 、 $G = +2$ 、 $R_F = 750\Omega$ 、 $R_L = 150\Omega$ (连接至 GND)、 $R_{SRC} = 375\Omega$ 时测得 (除非另有说明)

参数	测试条件	最小值	典型值	最大值	单位
输出					
输出电压摆幅	$R_L = 1k\Omega$ 至 GND	± 4.86	± 4.88		V
	$R_L = 1k\Omega$ 至 GND, $T_A = -40^\circ C$ 至 $+85^\circ C$	± 4.84			
	$R_L = 150\Omega$ 至 GND	± 4.60	± 4.64		
	$R_L = 150\Omega$ 至 GND, $T_A = -40^\circ C$ 至 $+85^\circ C$	± 4.56			
电流输出, 灌电流和拉电流	$V_O = \pm 2.75V$, $V_{OS} = 20mV$	± 63	± 82		mA
	$V_O = \pm 2.75V$, $V_{OS} = 20mV$, $T_A = -40^\circ C$ 至 $+85^\circ C$	± 53			
短路电流	输出接地短路		120		mA
闭环输出阻抗	$G = +2$, $f \leq 100kHz$		0.03		Ω
电源					
静态电流		7.6	9	10.6	mA
	$T_A = -40^\circ C$ 至 $+85^\circ C$	6.2		12.2	
电源抑制比 (-PSRR)	以输入为基准, 1V 阶跃	61	66		dB
	以输入为基准, $T_A = -40^\circ C$ 至 $+85^\circ C$	59			

(1) 对于 $25^\circ C$ 规格, 结温 = 环境温度。

6.6 电气特性 $V_S = 5V$

在 $T_A = 25^\circ C^{(1)}$ 、 $G = +2$ 、 $R_F = 750\Omega$ 、 $R_L = 150\Omega$ (连接至 GND) 时测得 (除非另有说明)

参数	测试条件	最小值	典型值	最大值	单位
交流性能					
小信号带宽	$G = +1, V_O \leq 0.2V_{PP}$		230		MHz
	$G = +2, V_O \leq 0.2V_{PP}$	70	100		
	$G = +5, V_O \leq 0.2V_{PP}$	15	21		
	$G = +10, V_O \leq 0.2V_{PP}$	7	10		
增益带宽积	$G \geq +10$	75	100		MHz
增益为 +1 时的峰值	$V_O \leq 0.2V_{PP}$		4		dB
压摆率	$G = +2, 2V$ 阶跃, 20% 至 80%	270	500		V/ μs
上升时间	0.5V 阶跃, 20% 至 80%		3.4	5.8	ns
下降时间	0.5V 阶跃, 20% 至 80%		3.4	5.8	ns
精度达 0.1% 的稳定时间	$G = +2, 1V$ 阶跃		44	65	ns
谐波失真	二次谐波, $V_O = 2V_{PP}, f = 5MHz, R_L = 150\Omega$	-52	-58		dBc
	二次谐波, $V_O = 2V_{PP}, f = 5MHz, R_L \geq 500\Omega$	-56	-62		
	三次谐波, $V_O = 2V_{PP}, f = 5MHz, R_L = 150\Omega$	-50	-58		
	三次谐波, $V_O = 2V_{PP}, f = 5MHz, R_L \geq 500\Omega$	-65	-84		
输入电压噪声	$f > 1MHz$		5.8	10.3	nV/ \sqrt{Hz}
	$f > 1MHz, T_A = -40^\circ C$ 至 $+85^\circ C$			11.3	
输入电流噪声	$f > 1MHz$		4	5.4	pA/ \sqrt{Hz}
	$f > 1MHz, T_A = -40^\circ C$ 至 $+85^\circ C$			6.4	
直流性能					
开环电压增益	$V_O = \pm 1V$	66	72		dB
	$V_O = \pm 1V, T_A = -40^\circ C$ 至 $+85^\circ C$	64			
输入失调电压			± 0.5	± 5.5	mV
	$T_A = -40^\circ C$ 至 $+85^\circ C$			± 7.0	
平均失调电压漂移	$T_A = -40^\circ C$ 至 $+85^\circ C$			± 22	$\mu V/^\circ C$
输入偏置电流	$V_{CM} = 2.5V$		+5	+18	μA
	$V_{CM} = 2.5V, T_A = -40^\circ C$ 至 $+85^\circ C$			+18	
输入偏置电流漂移	$V_{CM} = 2.5V, T_A = -40^\circ C$ 至 $+85^\circ C$			± 46	nA/ $^\circ C$
输入失调电流	$V_{CM} = 2.5V$		± 0.2	± 0.9	μA
	$V_{CM} = 2.5V, T_A = -40^\circ C$ 至 $+85^\circ C$			± 1.3	
输入失调电流漂移	$V_{CM} = 2.5V, T_A = -40^\circ C$ 至 $+85^\circ C$			± 6	nA/ $^\circ C$
输入					
负输入电压	0.4V 阶跃		-0.5	-0.4	V
	0.4V 阶跃, $T_A = -40^\circ C$ 至 $+85^\circ C$			-0.2	
正输入电压	0.4V 阶跃	3.1	3.2		V
	0.4V 阶跃, $T_A = -40^\circ C$ 至 $+85^\circ C$	2.9			
共模抑制比 (CMRR)	以输入为基准	76	80		dB
	以输入为基准, $T_A = -40^\circ C$ 至 $+85^\circ C$	71			
输入阻抗	差分模式		10 2.1		k Ω pF
	共模		400 1.2		

6.6 电气特性 $V_S = 5V$ (续)

在 $T_A = 25^\circ\text{C}$ ⁽¹⁾、 $G = +2$ 、 $R_F = 750\Omega$ 、 $R_L = 150\Omega$ (连接至 GND) 时测得 (除非另有说明)

参数	测试条件	最小值	典型值	最大值	单位
输出					
输出电压摆幅低位	$G = +5$, $R_L = 1k\Omega$ (连接至 2.5V)			0.09	V
	$G = +5$, $R_L = 1k\Omega$ (连接至 2.5V), $T_A = -40^\circ\text{C}$ 至 $+85^\circ\text{C}$			0.13	
	$G = +5$, $R_L = 150\Omega$ (连接至 2.5V)			0.21	
	$G = +5$, $R_L = 150\Omega$ (连接至 2.5V), $T_A = -40^\circ\text{C}$ 至 $+85^\circ\text{C}$			0.26	
输出电压摆幅高位	$G = +5$, $R_L = 1k\Omega$ (连接至 2.5V)	4.91			V
	$G = +5$, $R_L = 1k\Omega$ (连接至 2.5V), $T_A = -40^\circ\text{C}$ 至 $+85^\circ\text{C}$	4.87			
	$G = +5$, $R_L = 150\Omega$ (连接至 2.5V)	4.78			
	$G = +5$, $R_L = 150\Omega$ (连接至 2.5V), $T_A = -40^\circ\text{C}$ 至 $+85^\circ\text{C}$	4.72			
电流输出, 灌电流和拉电流	$V_O = \pm 0.88V$, $V_{OS} = 20mV$	± 58	± 75		mA
	$V_O = \pm 0.88V$, $V_{OS} = 20mV$, $T_A = -40^\circ\text{C}$ 至 $+85^\circ\text{C}$	± 50			
短路电流	输出短接至任一电源		125		mA
闭环输出阻抗	$G = +2$, $f \leq 100kHz$		0.06		Ω
电源					
静态电流		7.4	8.8	10	mA
	$T_A = -40^\circ\text{C}$ 至 $+85^\circ\text{C}$	6.2		11.4	
电源抑制比 (PSRR)	以输入为基准, 0.5V 阶跃	61	66		dB
	以输入为基准, $T_A = -40^\circ\text{C}$ 至 $+85^\circ\text{C}$	59			

(1) 对于 $+25^\circ\text{C}$ 规格, 结温 = 环境温度。

6.7 电气特性 $V_S = 3V$

在 $T_A = 25^\circ C^{(1)}$ 、 $G = +2$ 、 $R_F = 750\Omega$ 、 $R_L = 150\Omega$ (连接至 $V_S/3$) 时测得 (除非另有说明)

参数	测试条件	最小值	典型值	最大值	单位
交流性能					
小信号带宽	$G = +2, V_O \leq 0.2V_{PP}$	70	90		MHz
	$G = +5, V_O \leq 0.2V_{PP}$	15	20		
	$G = +10, V_O \leq 0.2V_{PP}$	7.5	9		
增益带宽积	$G \geq +10$	75	90		MHz
压摆率	$G = +2, 1V$ 阶跃, 20% 至 80%	135	220		V/ μs
上升时间	0.5V 阶跃, 20% 至 80%		3.4	5.6	ns
下降时间	0.5V 阶跃, 20% 至 80%		3.4	5.6	ns
精度达 0.1% 的稳定时间	$G = +2, 1V$ 阶跃		46	73	ns
谐波失真	二次谐波, $V_O = 1V_{PP}, f = 5MHz, R_L = 150\Omega$	-56	-60		dBc
	二次谐波, $V_O = 1V_{PP}, f = 5MHz, R_L \geq 500\Omega$	-59	-64		
	三次谐波, $V_O = 1V_{PP}, f = 5MHz, R_L = 150\Omega$	-59	-68		
	三次谐波, $V_O = 1V_{PP}, f = 5MHz, R_L \geq 500\Omega$	-65	-72		
输入电压噪声	$f > 1MHz$		5.8	10.3	nV/ \sqrt{Hz}
	$f > 1MHz, T_A = 0^\circ C$ 至 $70^\circ C$			10.8	
输入电流噪声	$f > 1MHz$		4	5.4	pA/ \sqrt{Hz}
	$f > 1MHz, T_A = 0^\circ C$ 至 $70^\circ C$			6.2	
直流性能					
开环电压增益	$V_O = \pm 0.5V$	66	72		dB
	$V_O = \pm 0.5V, T_A = 0^\circ C$ 至 $70^\circ C$	65			
输入失调电压			± 1.5	± 7.5	mV
	$T_A = 0^\circ C$ 至 $70^\circ C$			± 8.7	
平均失调电压漂移	$T_A = 0^\circ C$ 至 $70^\circ C$			± 27	$\mu V/^\circ C$
输入偏置电流	$V_{CM} = 1.0V$		+5	+18	μA
	$V_{CM} = 1.0V, T_A = 0^\circ C$ 至 $70^\circ C$			± 18	
输入偏置电流漂移	$V_{CM} = 1.0V, T_A = 0^\circ C$ 至 $70^\circ C$			± 44	nA/ $^\circ C$
输入失调电流	$V_{CM} = 1.0V$		± 0.2	± 1.1	μA
	$V_{CM} = 1.0V, T_A = 0^\circ C$ 至 $70^\circ C$			± 1.3	
输入失调电流漂移	$V_{CM} = 1.0V, T_A = 0^\circ C$ 至 $70^\circ C$			± 5	nA/ $^\circ C$
输入					
负输入电压	0.4V 阶跃		-0.45	-0.4	V
	$T_A = 0^\circ C$ 至 $+70^\circ C, 0.4V$ 阶跃			-0.27	
正输入电压	0.4V 阶跃	1.1	1.2		V
	$T_A = 0^\circ C$ 至 $+70^\circ C, 0.4V$ 阶跃	1			
共模抑制比 (CMRR)	以输入为基准	74	80		dB
	以输入为基准, $T_A = 0^\circ C$ 至 $70^\circ C$	72			dB
输入阻抗	差分模式		10 2.1		k Ω pF
	共模		400 1.2		
输出					
电流输出, 灌电流和拉电流	$V_O = \pm 0.125V, V_{OS} = 20mV$	± 20	± 30		mA
	$V_O = \pm 0.125V, V_{OS} = 20mV, T_A = 0^\circ C$ 至 $70^\circ C$	± 18			
短路电流	输出短接至任一电源		120		mA

6.7 电气特性 $V_S = 3V$ (续)

在 $T_A = 25^\circ C^{(1)}$ 、 $G = +2$ 、 $R_F = 750\Omega$ 、 $R_L = 150\Omega$ (连接至 $V_S/3$) 时测得 (除非另有说明)

参数	测试条件	最小值	典型值	最大值	单位
闭环输出阻抗	$G = +2, f \leq 100kHz$		0.06		Ω

6.7 电气特性 $V_S = 3V$ (续)

在 $T_A = 25^\circ\text{C}$ ⁽¹⁾、 $G = +2$ 、 $R_F = 750\Omega$ 、 $R_L = 150\Omega$ (连接至 $V_S/3$) 时测得 (除非另有说明)

参数	测试条件	最小值	典型值	最大值	单位
电源					
静态电流		6.6	8.6	9.8	mA
	$T_A = 0^\circ\text{C}$ 至 $+70^\circ\text{C}$	6.2		11	
电源抑制比 (PSRR)	以输入为基准, 0.3V 阶跃	60	64		dB
	以输入为基准, $T_A = 0^\circ\text{C}$ 至 70°C	58			

(1) 对于 $+25^\circ\text{C}$ 规格, 结温 = 环境温度。

6.8 典型特性 : $V_S = \pm 5V$

在 $T_A = 25^\circ C$ 、 $G = +2V/V$ 、 $R_F = 750\Omega$ 、 $R_L = 150\Omega$ (连接至 GND) 时测得 (除非另有说明) ; 请参阅图 8-3

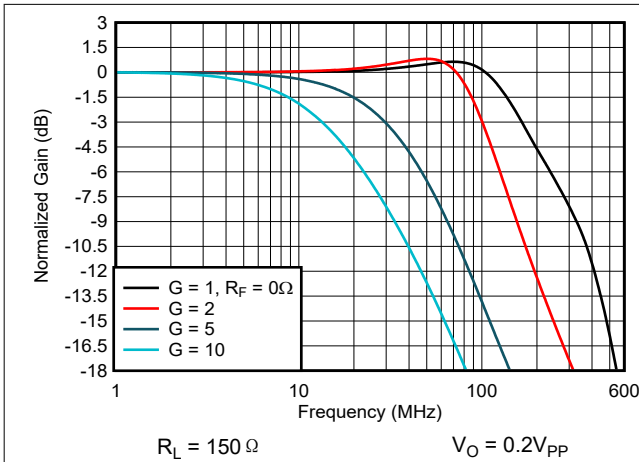


图 6-1. 同相小信号频率响应

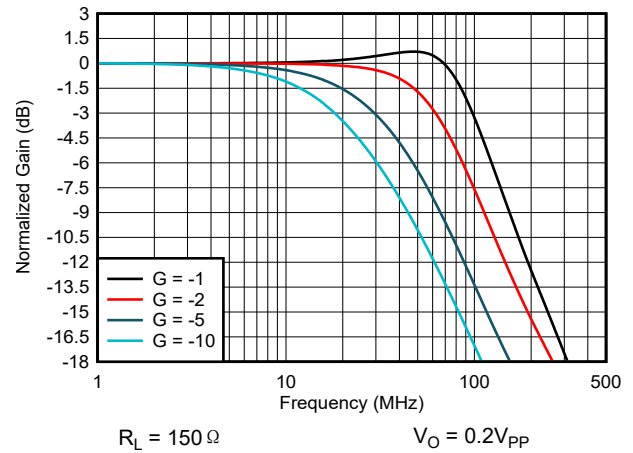


图 6-2. 反相小信号频率响应

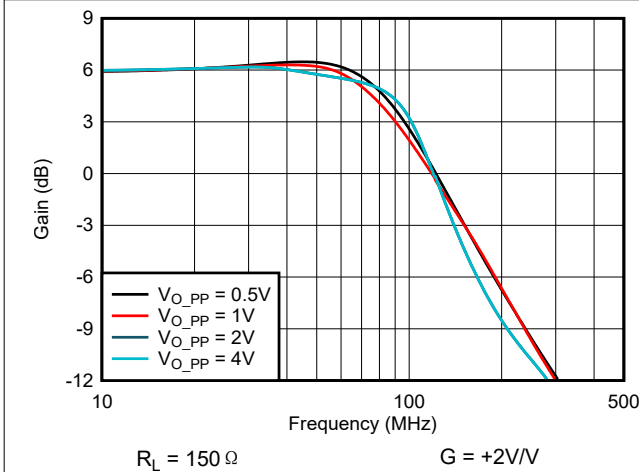


图 6-3. 同相大信号频率响应

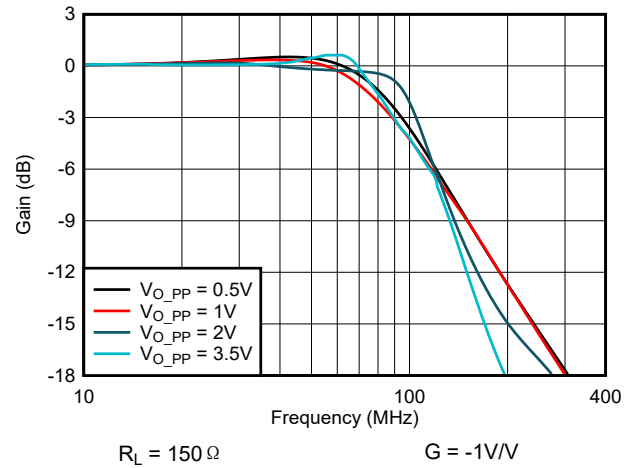


图 6-4. 反相大信号频率响应

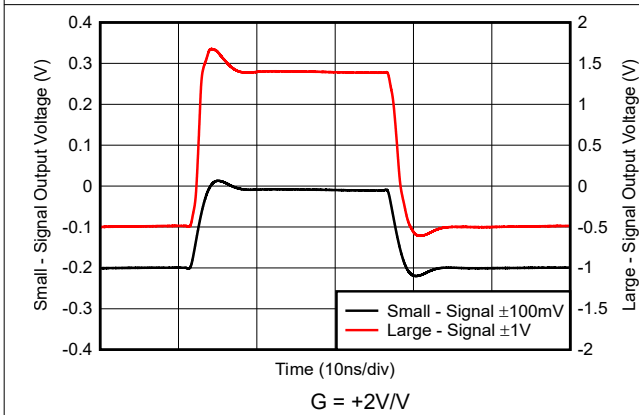


图 6-5. 同相脉冲响应

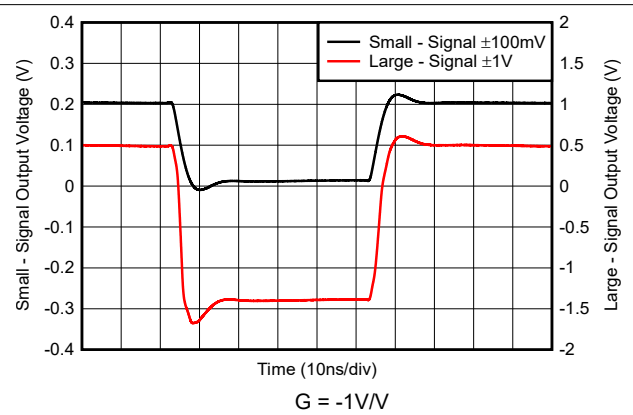
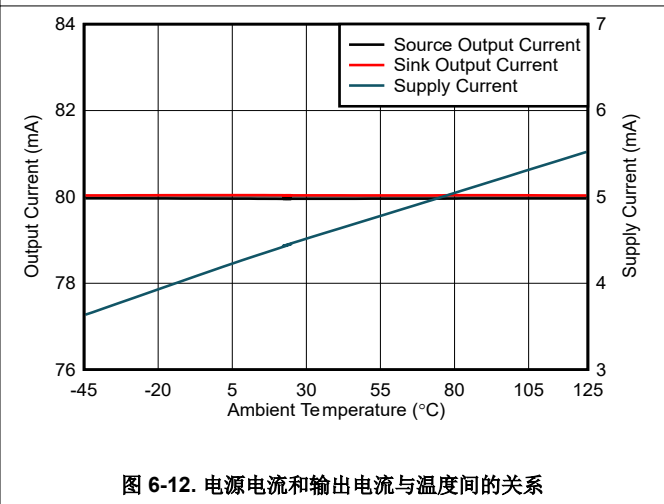
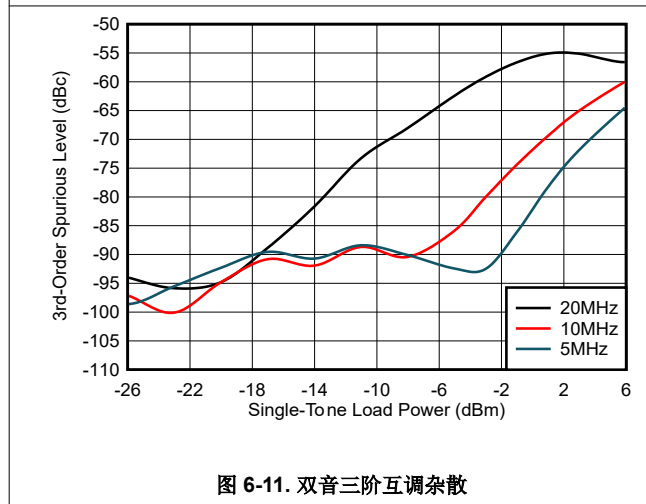
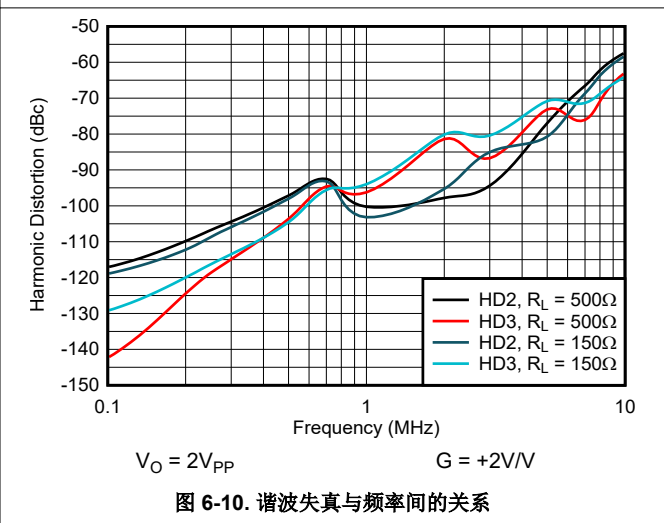
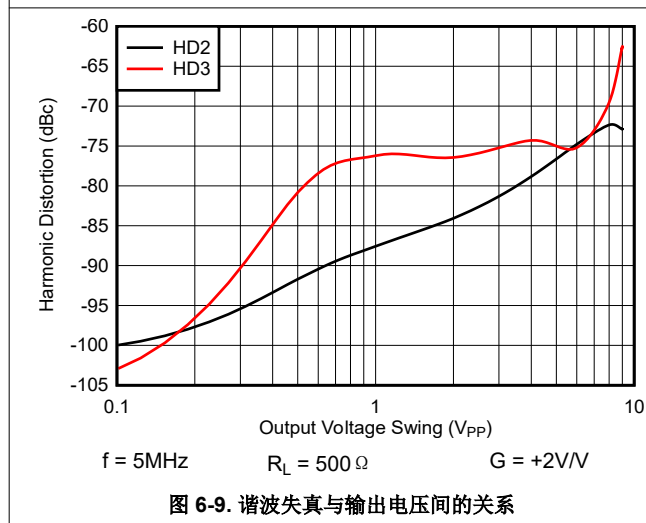
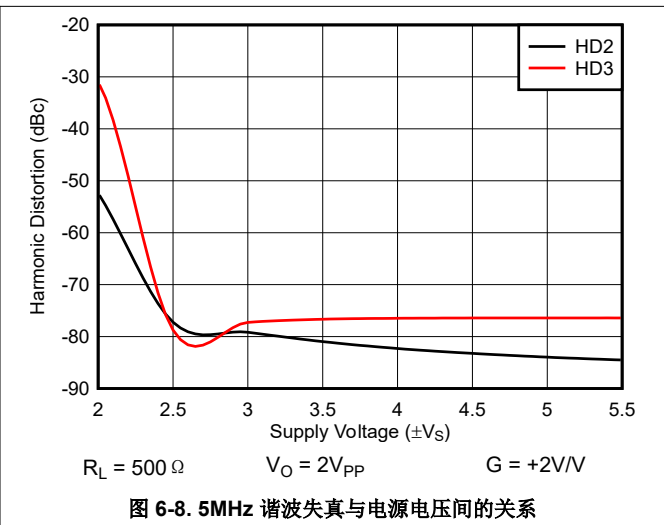
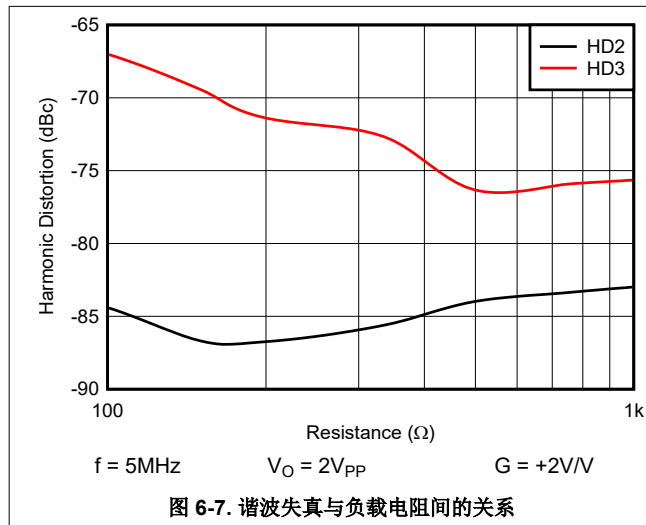


图 6-6. 反相脉冲响应

6.8 典型特性 : $V_S = \pm 5V$ (续)

在 $T_A = 25^\circ C$ 、 $G = +2V/V$ 、 $R_F = 750\Omega$ 、 $R_L = 150\Omega$ (连接至 GND) 时测得 (除非另有说明) ; 请参阅图 8-3



6.8 典型特性 : $V_S = \pm 5V$ (续)

在 $T_A = 25^\circ C$ 、 $G = +2V/V$ 、 $R_F = 750\Omega$ 、 $R_L = 150\Omega$ (连接至 GND) 时测得 (除非另有说明) ; 请参阅图 8-3

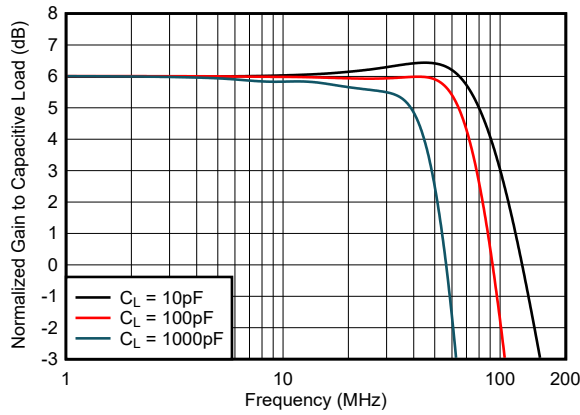


图 6-13. 频率响应与容性负载间的关系

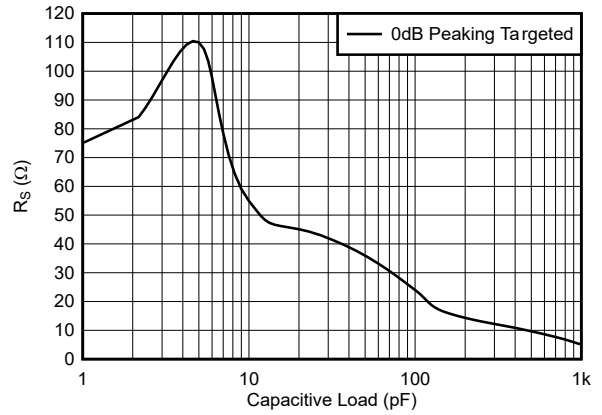


图 6-14. 建议的 R_S 与容性负载间的关系

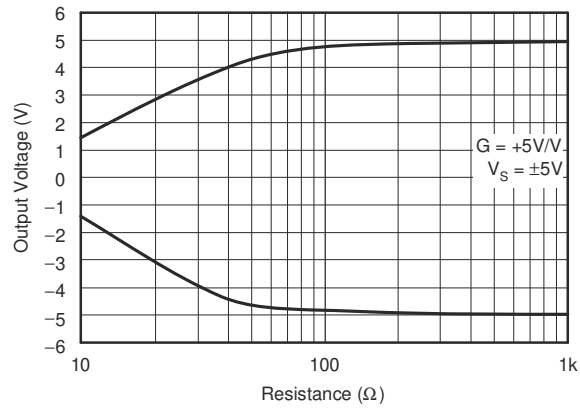


图 6-15. 输出摆幅与负载电阻间的关系

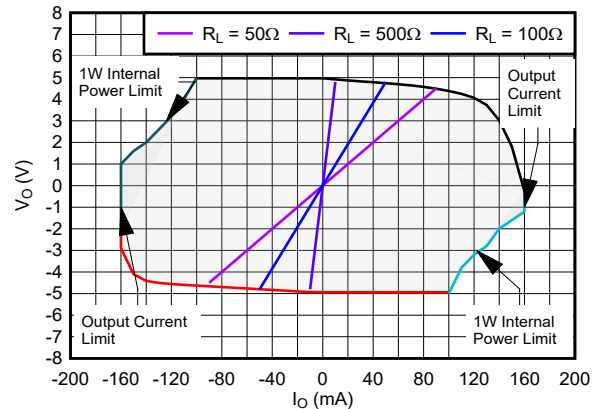


图 6-16. 输出电压和电流限制

6.9 典型特性： $V_S = \pm 5V$ ，差分配置

在 $T_A = 25^\circ C$ 、 $R_F = 604\Omega$ （请参阅图 7-1）、 $R_L = 500\Omega$ 时测得（除非另有说明）

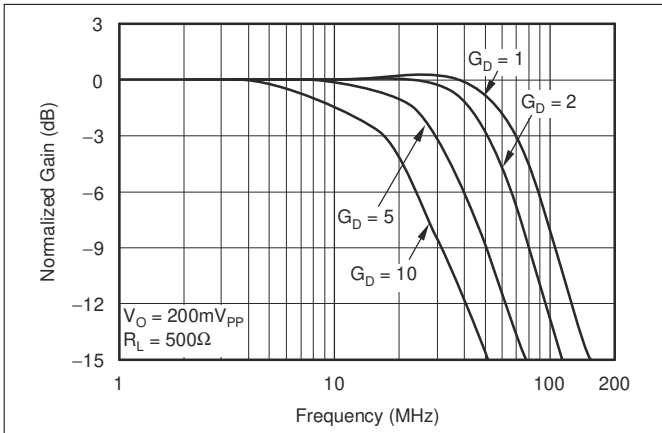


图 6-17. 差分小信号频率响应

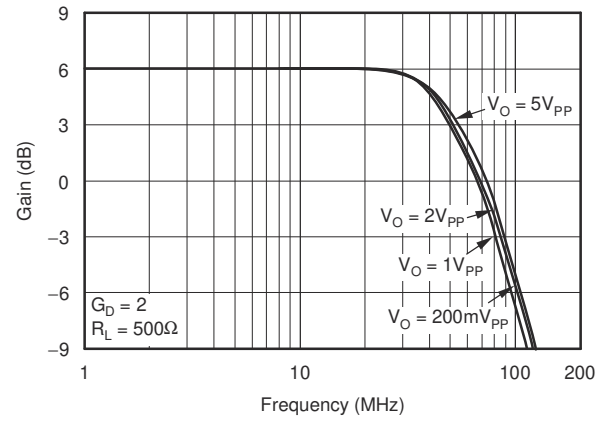


图 6-18. 差分大信号频率响应

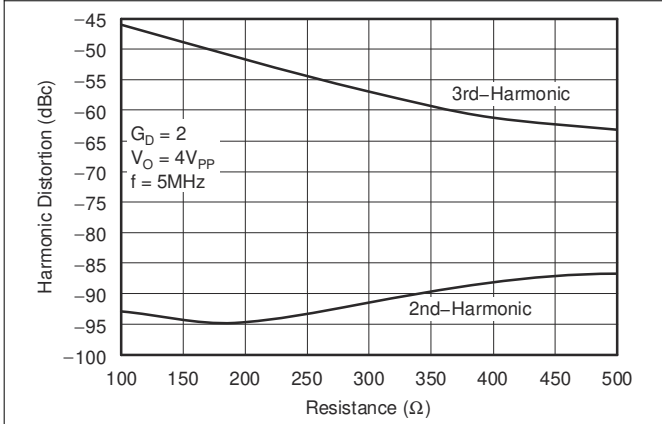


图 6-19. 差分失真与负载电阻间的关系

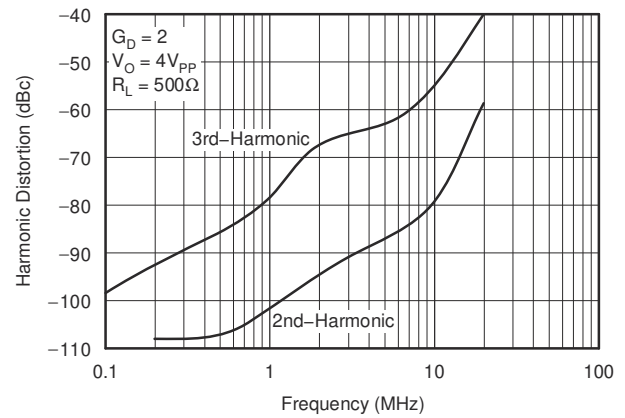


图 6-20. 差分失真与频率间的关系

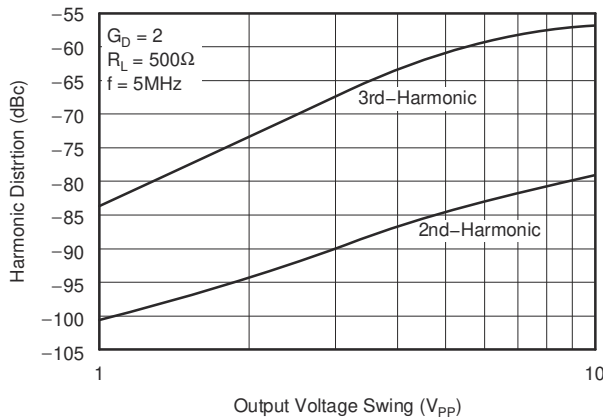
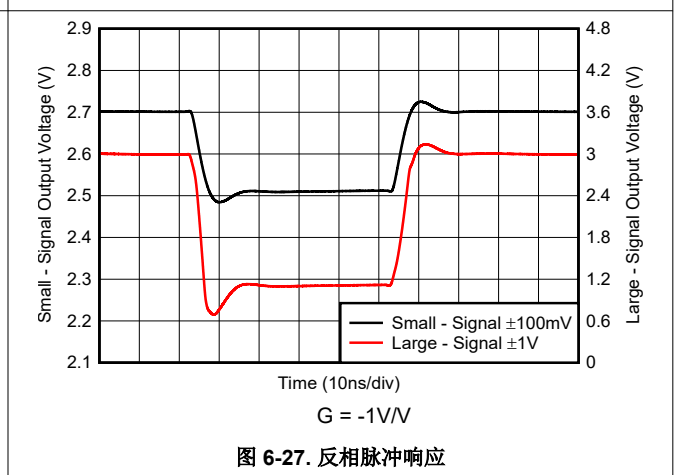
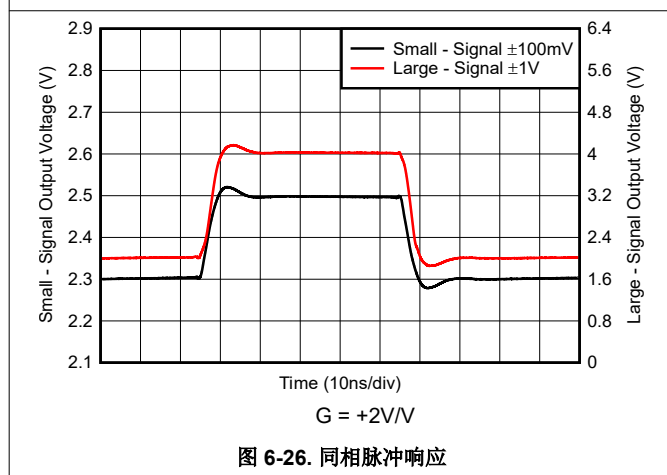
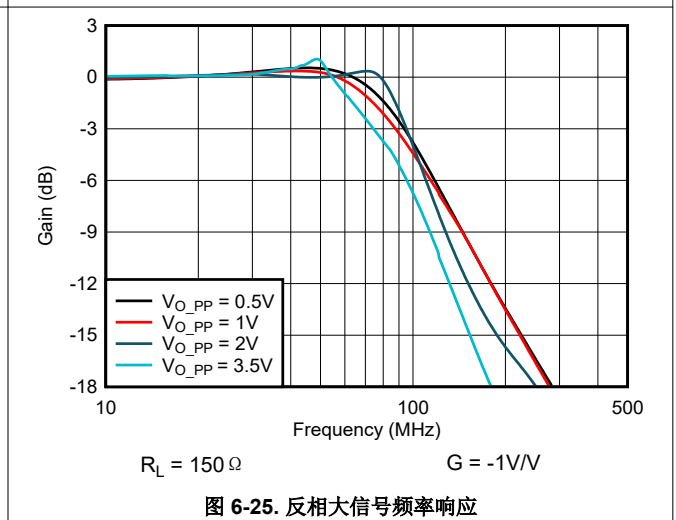
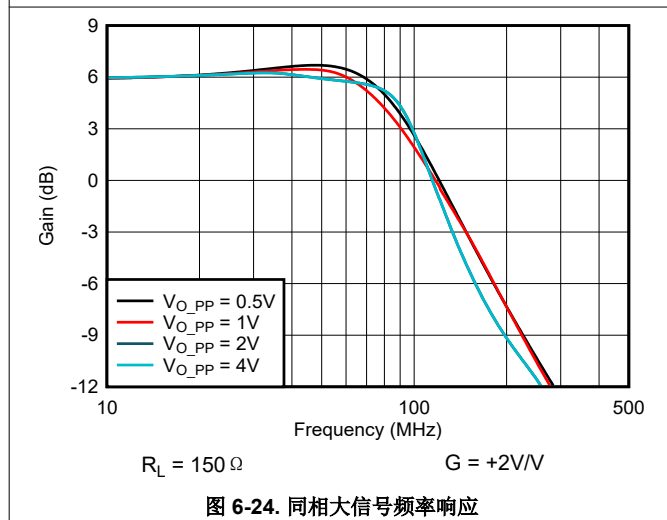
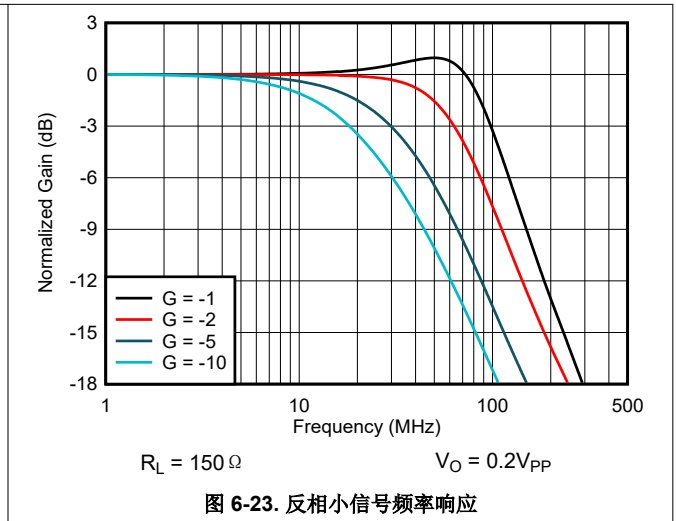
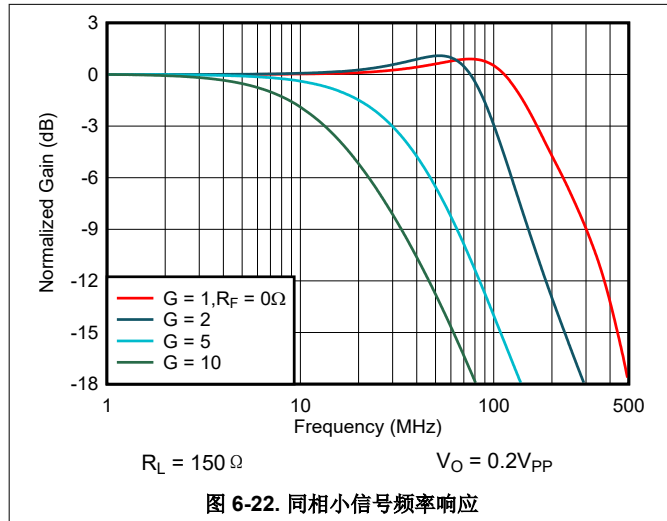


图 6-21. 差分失真与输出电压间的关系

6.10 典型特性 : $V_S = 5V$

在 $T_A = 25^\circ C$ 、 $G = +2V/V$ 、 $R_F = 750\ \Omega$ 、 $R_L = 150\ \Omega$ (连接至 $V_S/2$)、输入 $V_{CM} = 2.5V$ 时测得 (除非另有说明) ; 请参阅图 8-1



6.10 典型特性 : $V_S = 5V$ (续)

在 $T_A = 25^\circ C$ 、 $G = +2V/V$ 、 $R_F = 750\ \Omega$ 、 $R_L = 150\ \Omega$ (连接至 $V_S/2$)、输入 $V_{CM} = 2.5V$ 时测得 (除非另有说明) ; 请参阅图 8-1

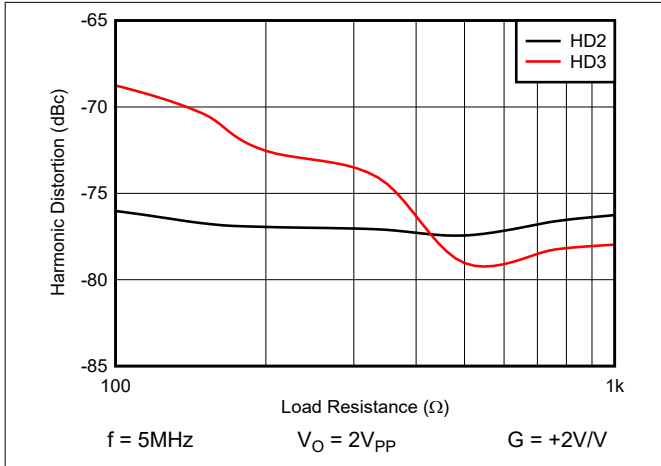


图 6-28. 谐波失真与负载电阻间的关系

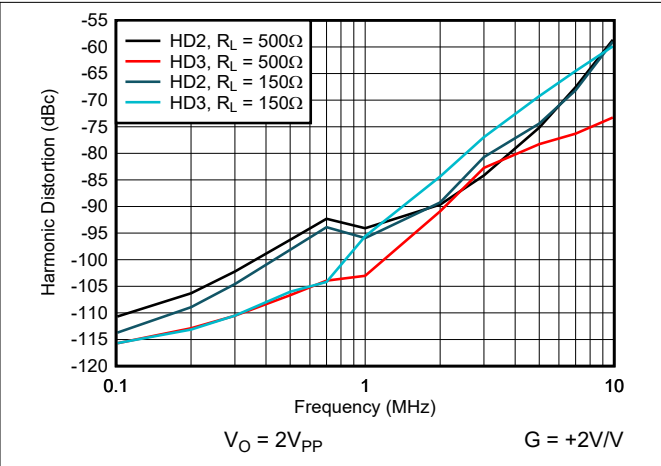


图 6-29. 谐波失真与频率间的关系

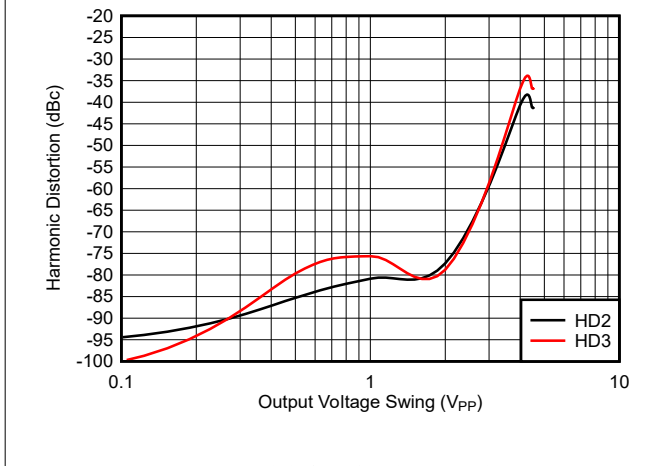


图 6-30. 谐波失真与输出电压间的关系

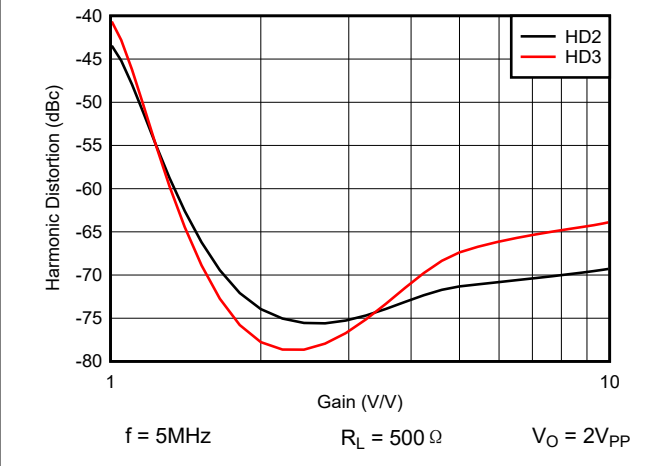


图 6-31. 谐波失真与同相增益间的关系

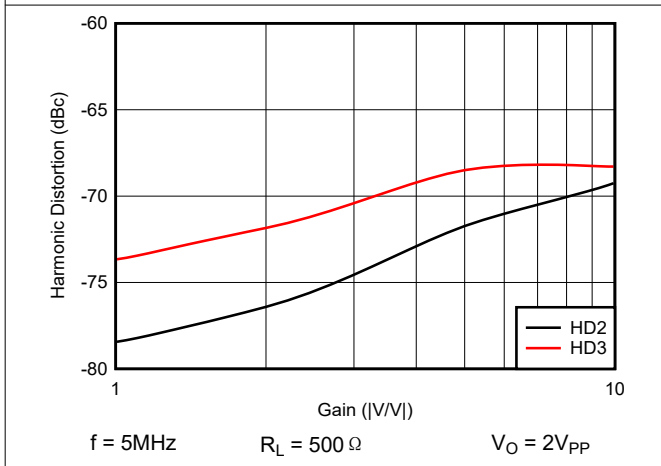


图 6-32. 谐波失真与反相增益间的关系

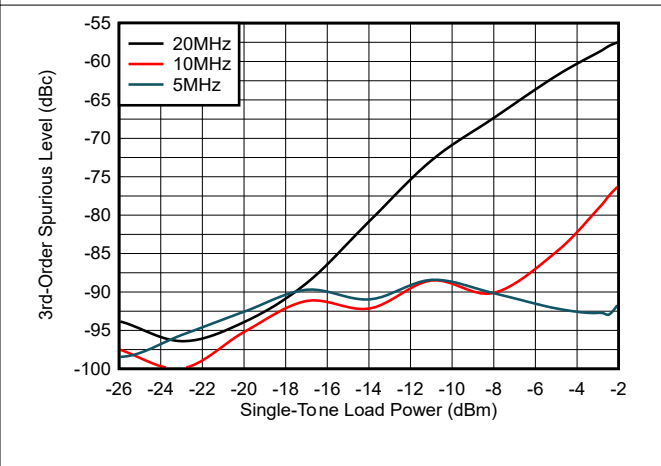


图 6-33. 双音三阶互调杂散

6.10 典型特性 : $V_S = 5V$ (续)

在 $T_A = 25^\circ C$ 、 $G = +2V/V$ 、 $R_F = 750 \Omega$ 、 $R_L = 150 \Omega$ (连接至 $V_S/2$)、输入 $V_{CM} = 2.5V$ 时测得 (除非另有说明) ; 请参阅图 8-1

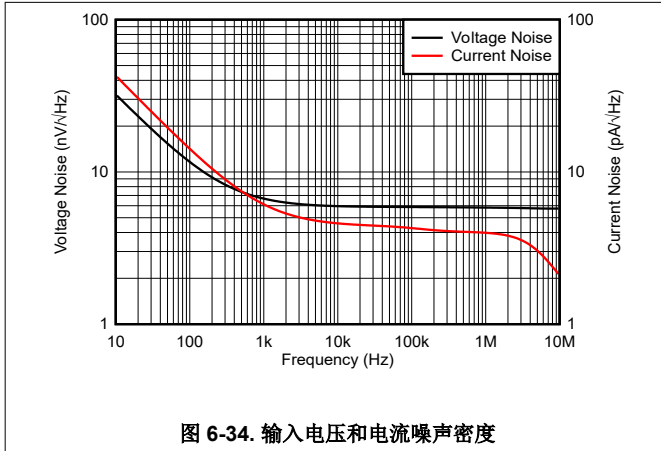


图 6-34. 输入电压和电流噪声密度

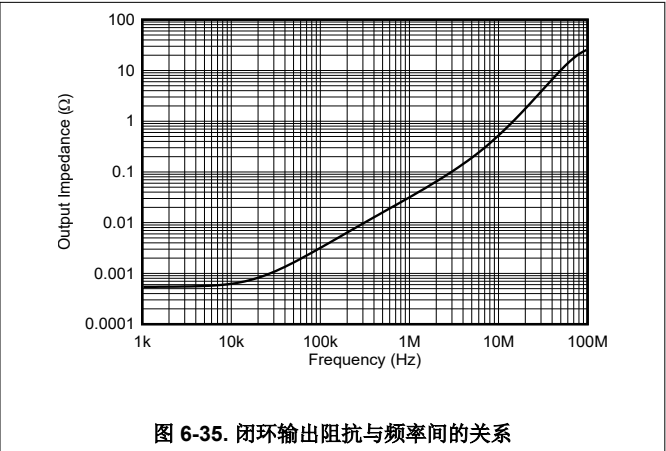


图 6-35. 闭环输出阻抗与频率间的关系

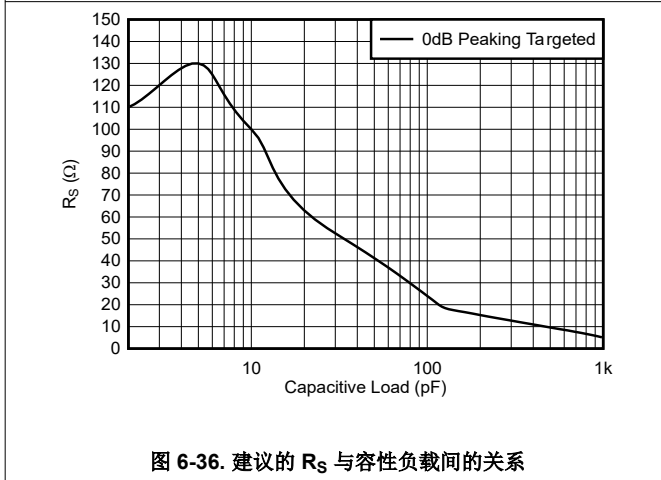


图 6-36. 建议的 R_S 与容性负载间的关系

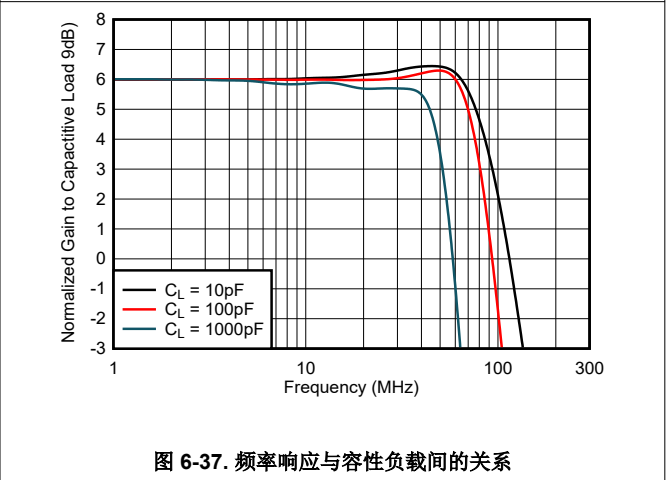


图 6-37. 频率响应与容性负载间的关系

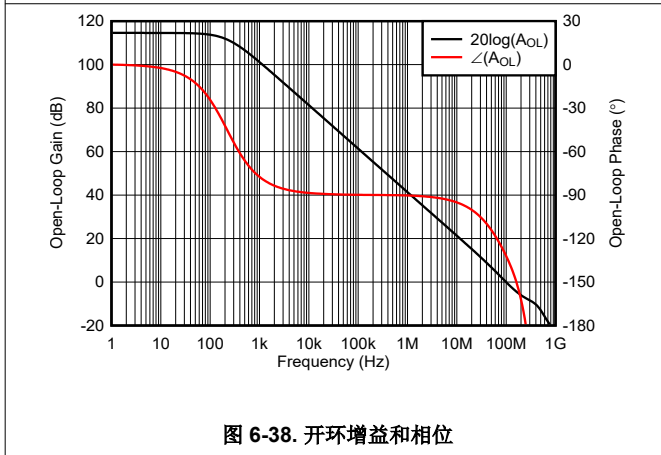


图 6-38. 开环增益和相位

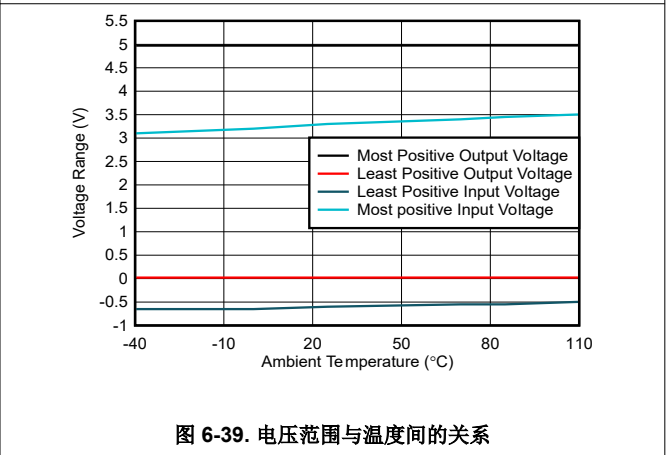


图 6-39. 电压范围与温度间的关系

6.10 典型特性 : $V_S = 5V$ (续)

在 $T_A = 25^\circ C$ 、 $G = +2V/V$ 、 $R_F = 750\ \Omega$ 、 $R_L = 150\ \Omega$ (连接至 $V_S/2$)、输入 $V_{CM} = 2.5V$ 时测得 (除非另有说明) ; 请参阅图 8-1

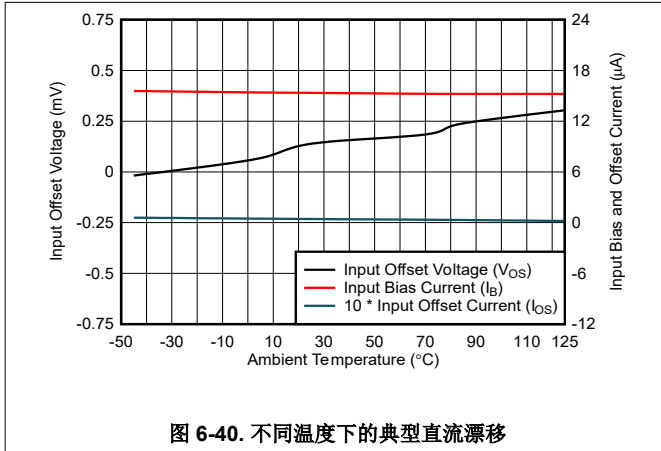


图 6-40. 不同温度下的典型直流漂移

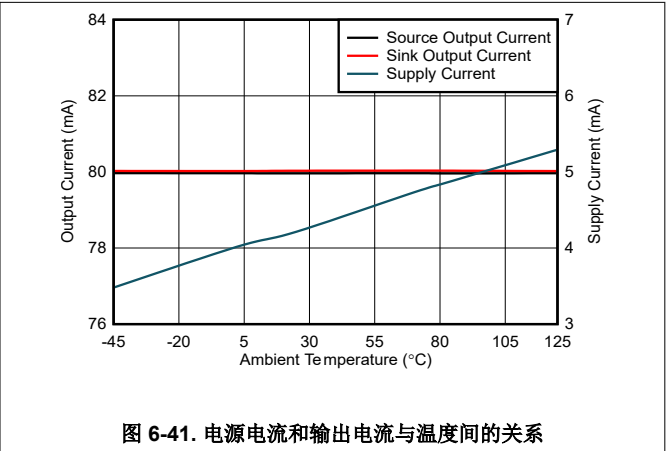


图 6-41. 电源电流和输出电流与温度间的关系

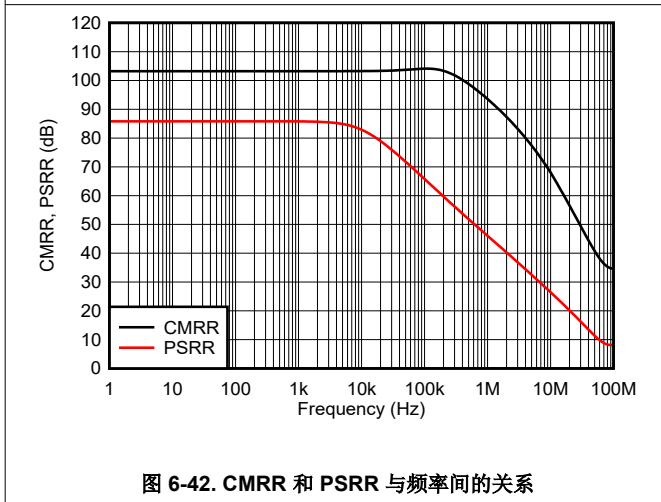


图 6-42. CMRR 和 PSRR 与频率间的关系

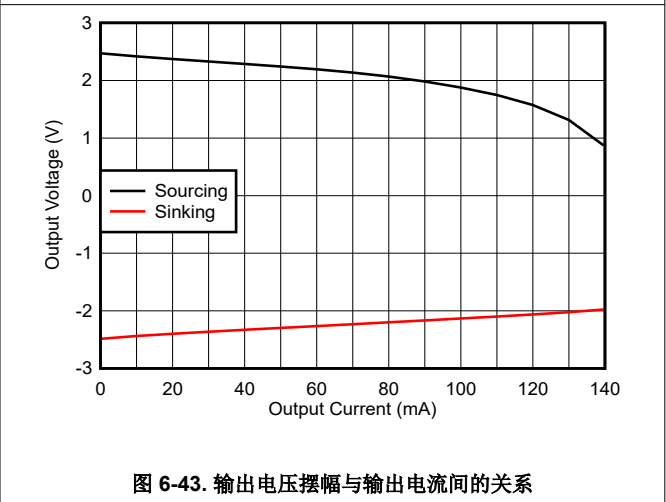


图 6-43. 输出电压摆幅与输出电流间的关系

6.11 典型特性： $V_S = 5V$ ，差分配置

在 $T_A = 25^\circ C$ 、 $R_F = 604\Omega$ 、 $R_L = 500\Omega$ 差分时分测得；请参阅图 7-2 (除非另有说明)

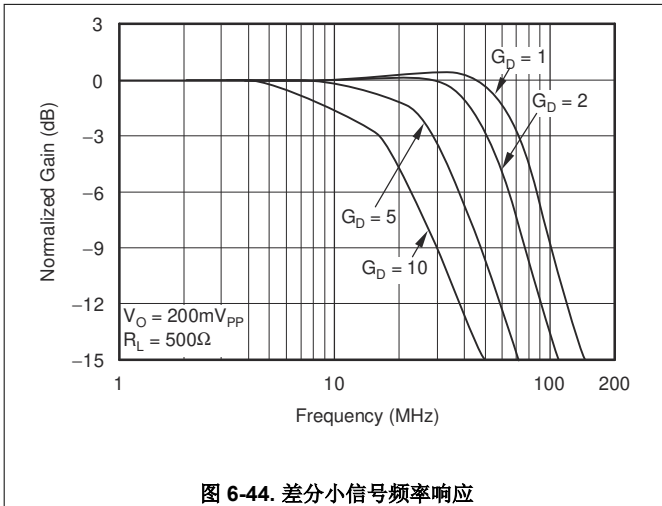


图 6-44. 差分小信号频率响应

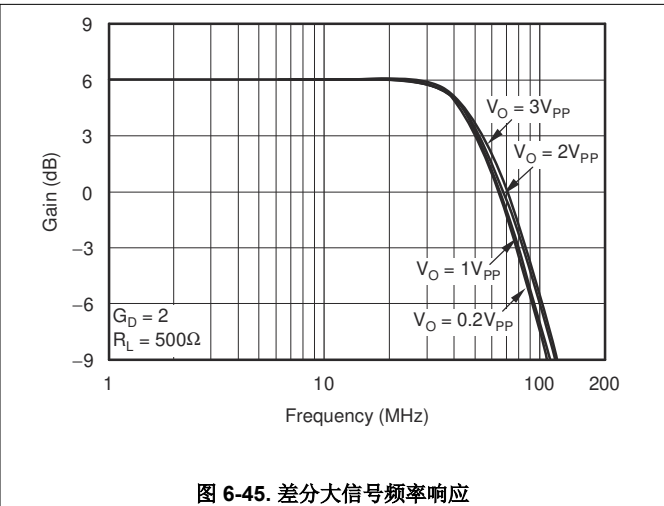


图 6-45. 差分大信号频率响应

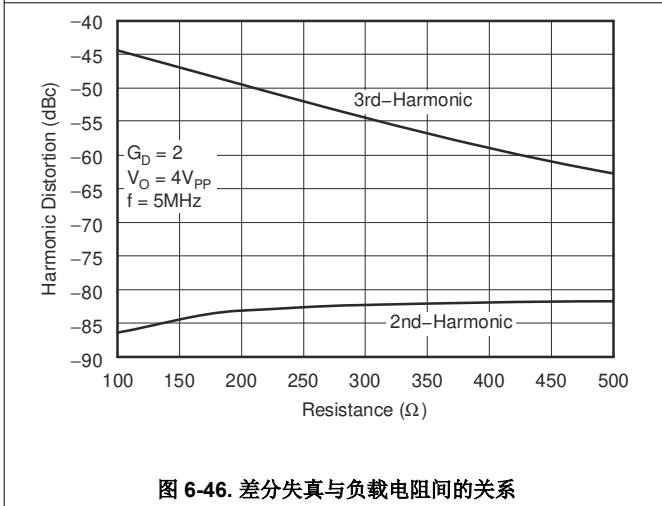


图 6-46. 差分失真与负载电阻间的关系

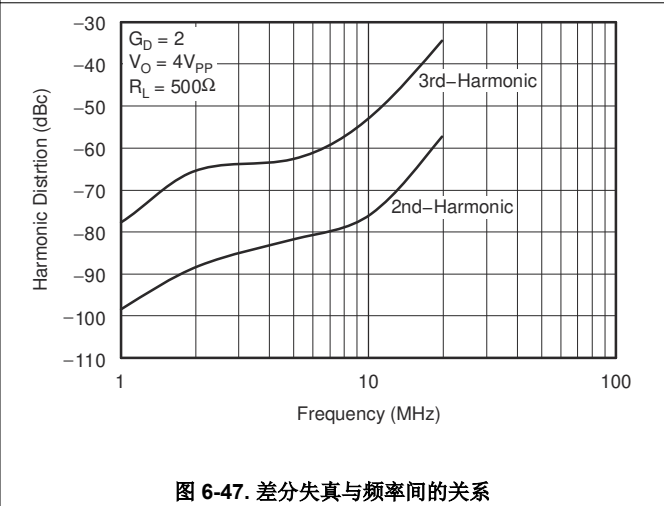


图 6-47. 差分失真与频率间的关系

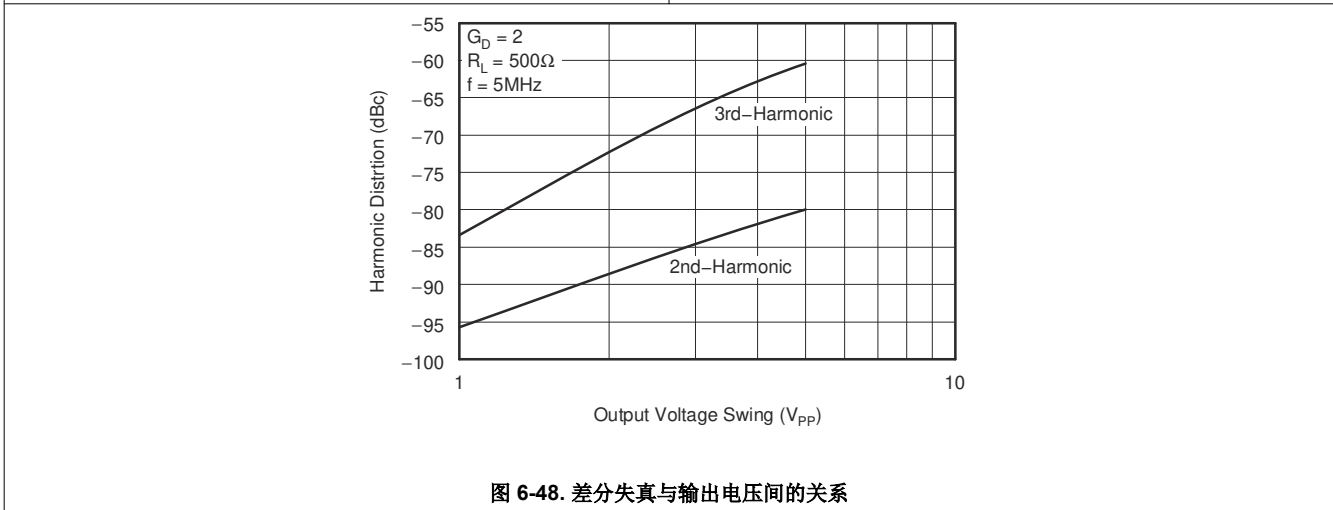
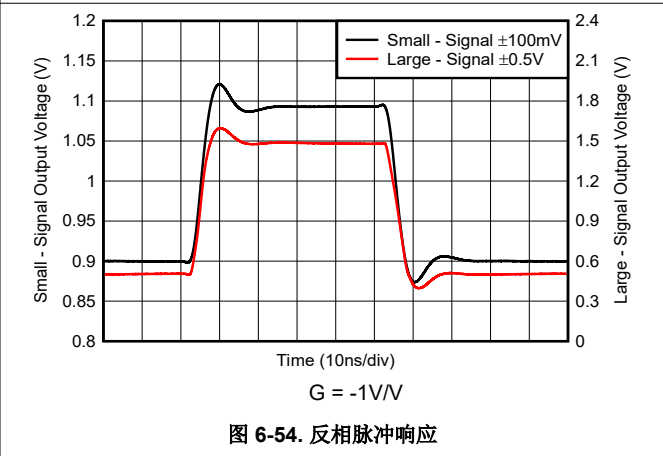
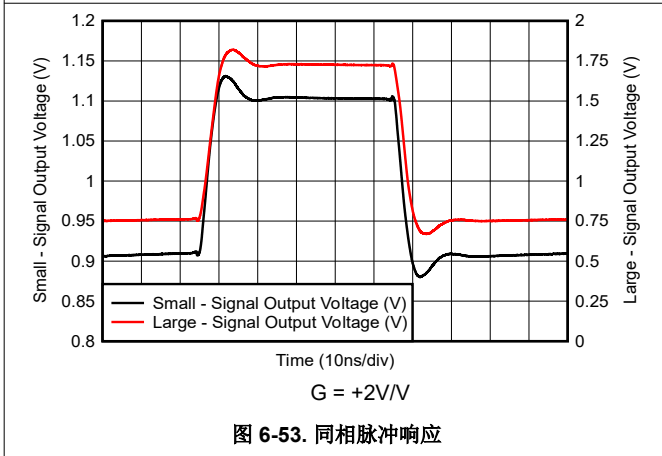
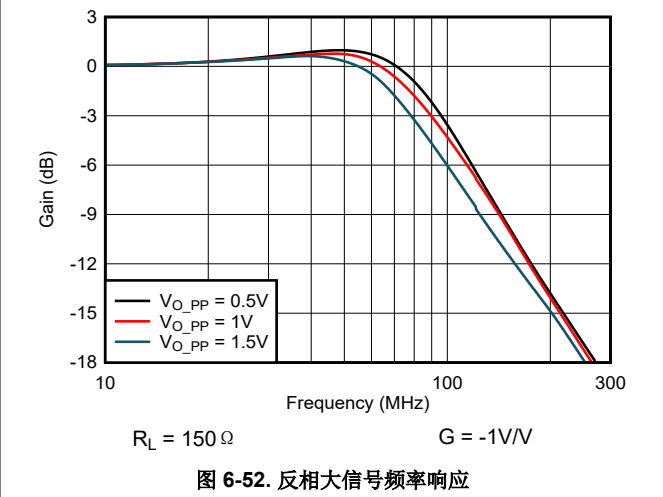
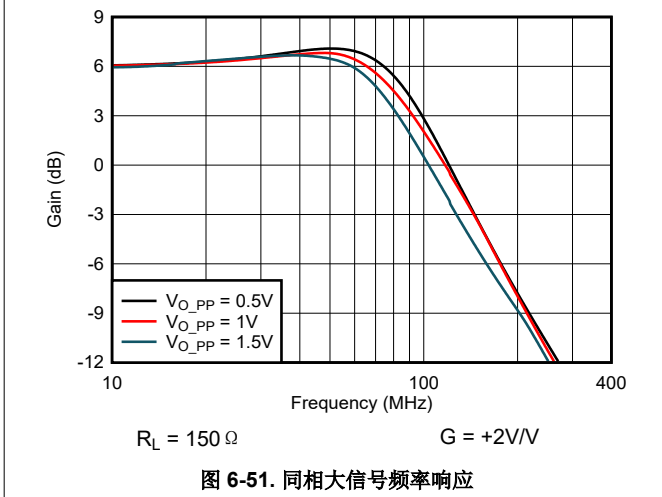
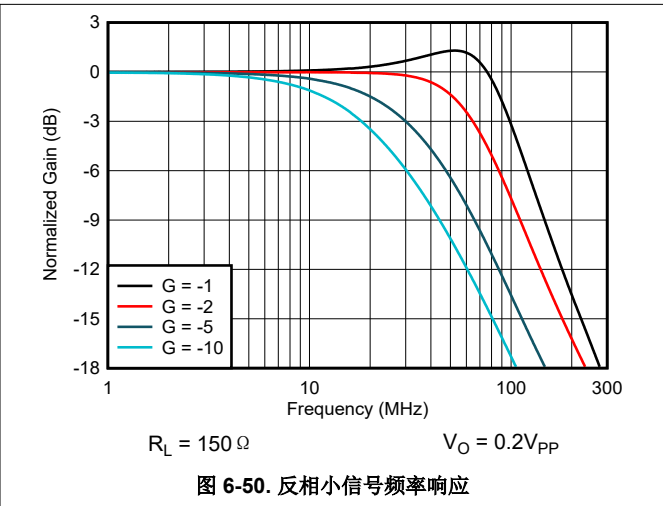
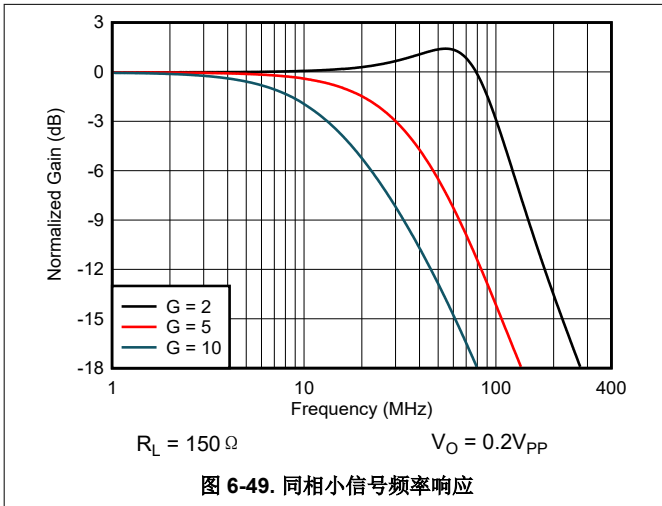


图 6-48. 差分失真与输出电压间的关系

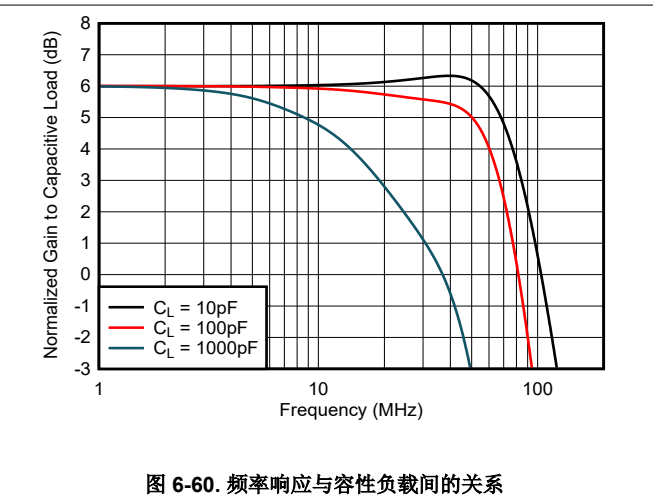
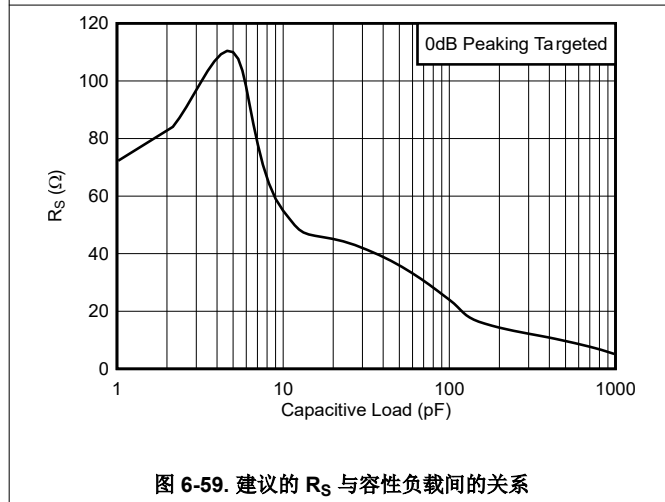
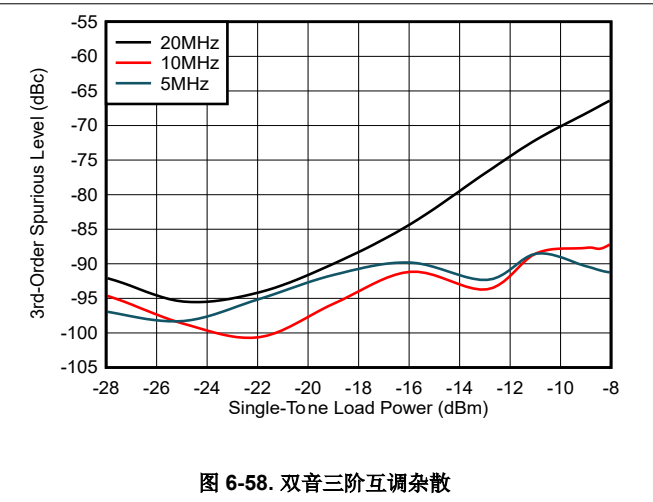
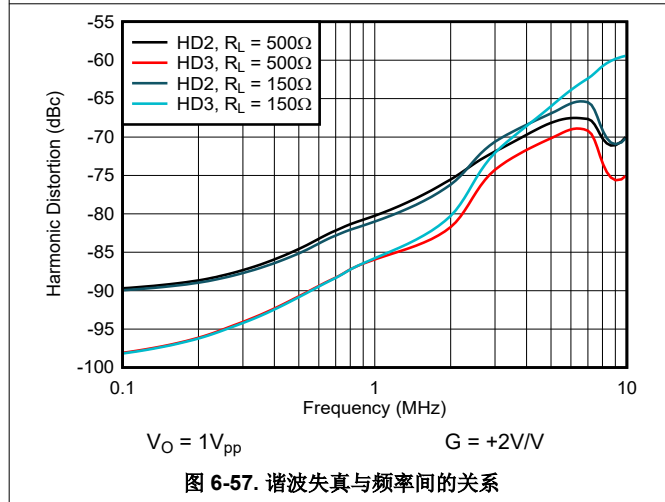
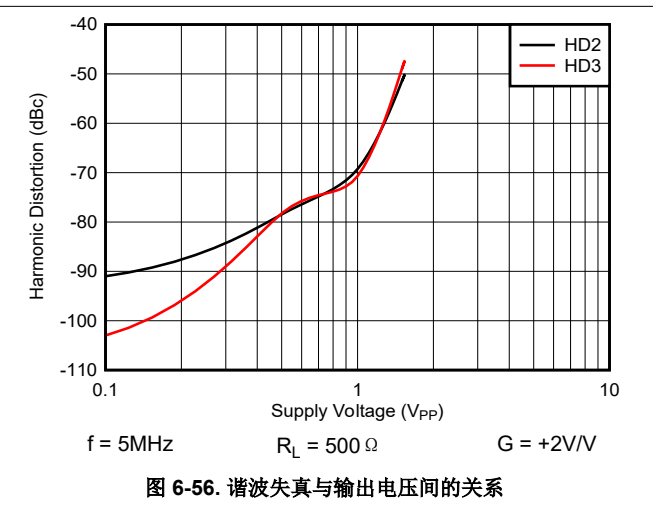
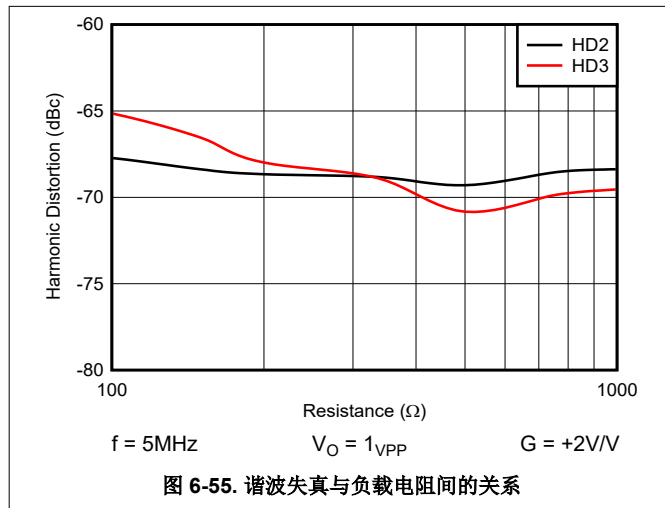
6.12 典型特性 : $V_S = 3V$

在 $T_A = 25^\circ C$ 、 $G = +2V/V$ 、 $R_F = 150\ \Omega$ (连接至 $V_S/3$) 时测得 (除非另有说明) ; 另请参阅图 8-2



6.12 典型特性：V_S = 3V (续)

在 T_A = 25°C、G = +2V/V、R_F = 150 Ω (连接至 V_S/3) 时测得 (除非另有说明)；另请参阅图 8-2



6.12 典型特性： $V_S = 3V$ （续）

在 $T_A = 25^\circ\text{C}$ 、 $G = +2V/V$ 、 $R_F = 150\ \Omega$ （连接至 $V_S/3$ ）时测得（除非另有说明）；另请参阅图 8-2

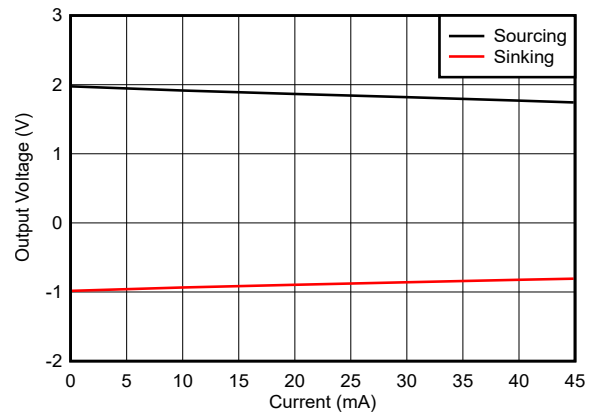


图 6-61. 输出摆幅与负载电阻间的关系

6.13 典型特性： $V_S = 3V$ ，差分配置

在 $T_A = 25^\circ C$ 、 $R_F = 604\Omega$ 、 $R_L = 500\Omega$ 差分时分测得；请参阅图 7-3 (除非另有说明)

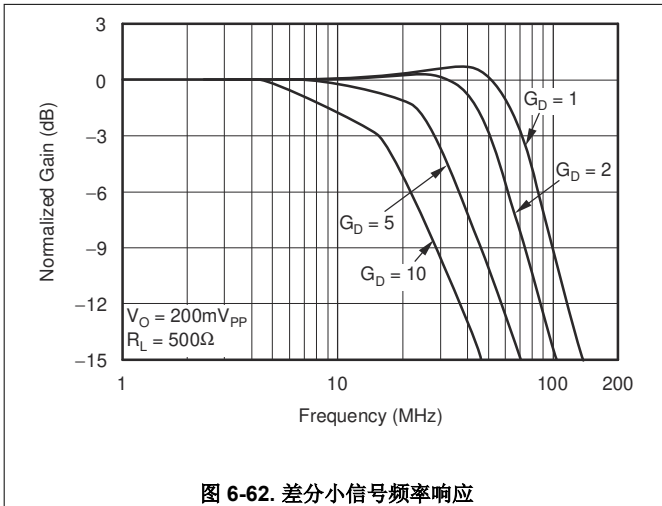


图 6-62. 差分小信号频率响应

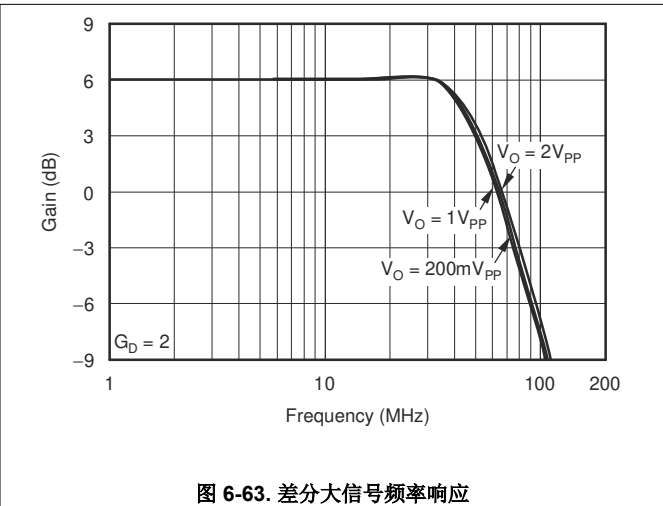


图 6-63. 差分大信号频率响应

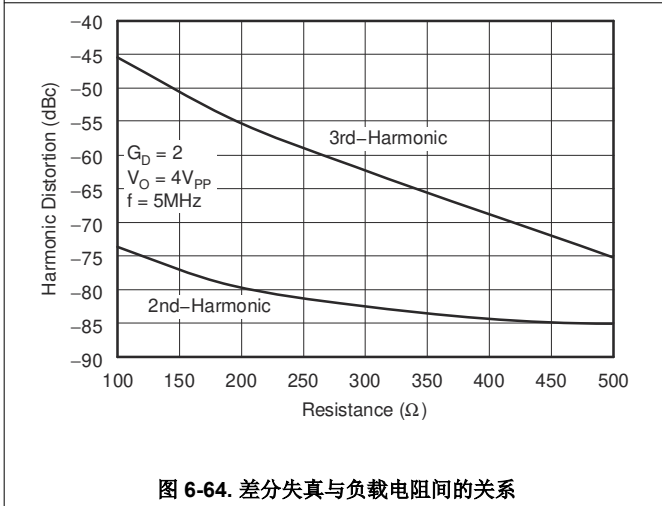


图 6-64. 差分失真与负载电阻间的关系

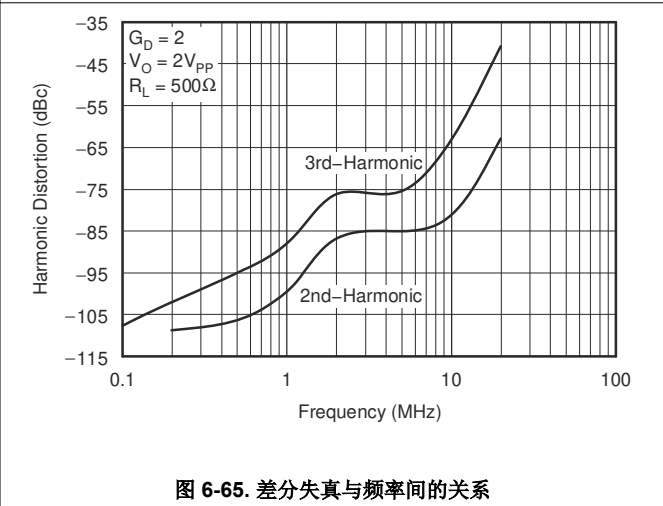


图 6-65. 差分失真与频率间的关系

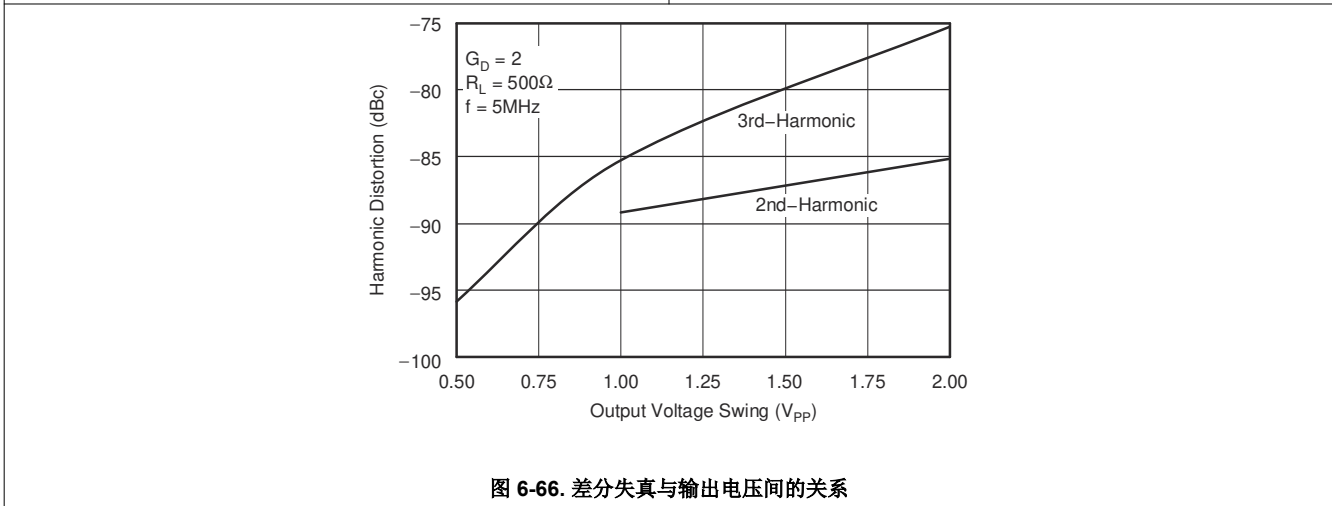


图 6-66. 差分失真与输出电压间的关系

7 参数测量信息

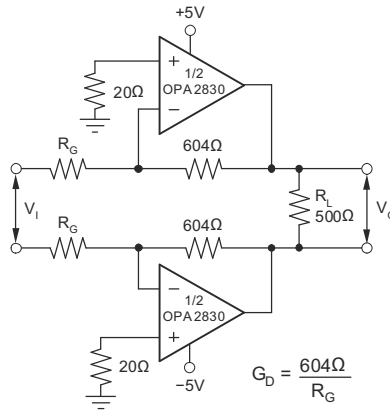


图 7-1. 10V 差分配置测试电路

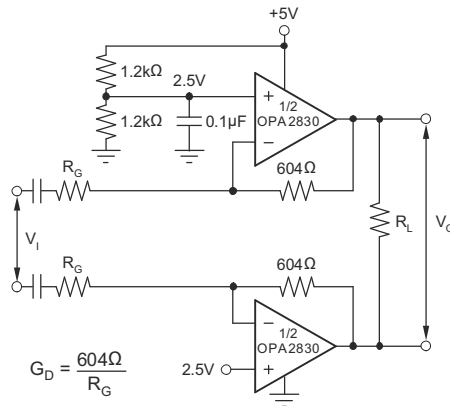


图 7-2. 5V 差分配置测试电路

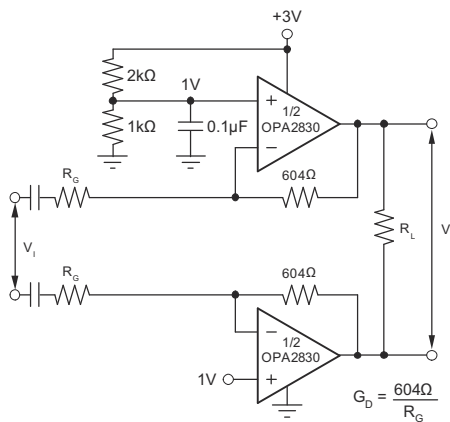


图 7-3. 3V 差分配置测试电路

8 应用和实施

备注

以下应用部分中的信息不属于 TI 器件规格的范围，TI 不担保其准确性和完整性。TI 的客户应负责确定器件是否适用于其应用。客户应验证并测试其设计，以确保系统功能。

8.1 应用信息

8.1.1 宽带电压反馈运算

OPA2830 是单位增益稳定的超高速电压反馈运算放大器，专为单电源运行（3V 至 10V）而设计。输入级支持低于接地且在正电源 1.7V 以内的输入电压。互补共发射极输出级提供接地和正电源 25mV 范围内的输出摆幅。OPA2830 经过补偿，可以在各种阻性负载下实现稳定运行。

图 8-1 显示了用于 5V 规格和典型特性的交流耦合、+2 增益配置。出于测试目的，通过一个接地电阻器将输入阻抗设置为 $50\ \Omega$ 。电气特性中报告的电压摆幅直接取自输入和输出引脚。对于图 8-1 的电路，高频下输出端的总有效负载为 $150\ \Omega \parallel 1500\ \Omega$ 。同相输入端的 $1.5\text{k}\ \Omega$ 电阻器提供共模偏置电压。并联组合等于反相输入端的直流电阻 (R_F)，可降低由输入偏置电流引起的直流输出失调电压。

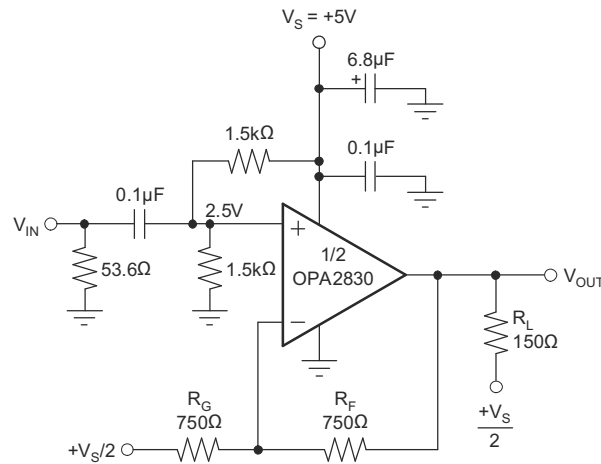


图 8-1. 交流耦合、 $G = +2$ 、5V 单电源规格和测试电路

图 8-2 显示了用于 3V 规格和典型特性的交流耦合、+2 增益配置。电气特性中报告的电压摆幅直接取自输入和输出引脚。对于图 8-2 的电路，高频下输出端的总有效负载为 $150\ \Omega \parallel 1500\ \Omega$ 。同相输入端的 $1.13\text{k}\ \Omega$ 和 $2.26\text{k}\ \Omega$ 电阻器提供共模偏置电压。并联组合等于反相输入端的直流电阻 (R_F)，可降低由输入偏置电流引起的直流输出失调电压。

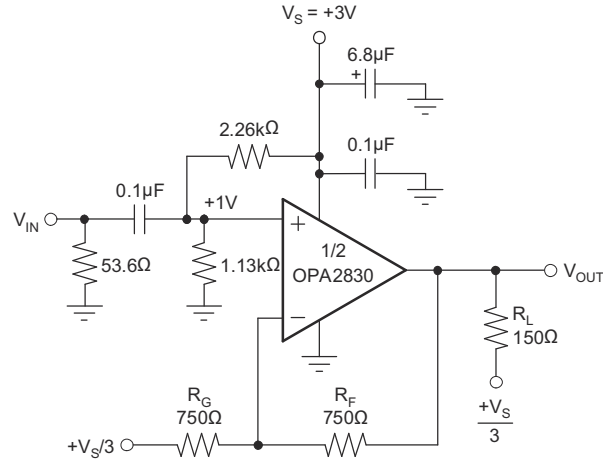


图 8-2. 交流耦合、 $G = +2$ 、3V 单电源规格和测试电路

图 8-3 显示了用作 $\pm 5V$ 电气特性和典型特性的基础的直流耦合、 $+2$ 增益、双电源电路配置。出于测试目的，输入阻抗通过接地电阻器设置为 50Ω ，而输出阻抗通过串联输出电阻器设置为 150Ω 。规格中报告的电压摆幅直接取自输入和输出引脚。对于图 8-3 的电路，总有效负载为 $150\Omega \parallel 1.5k\Omega$ 。图 8-3 中包含两个可选元件。此外，还包括一个与同相输入串联的附加电阻器 (348Ω)。结合朝向信号发生器的 25Ω 直流源电阻，此配置提供输入偏置电流消除电阻，该电阻与反相输入端的 375Ω 源电阻相匹配（请参阅直流精度和失调电压控制部分）。除常见的接地电源去耦电容器之外，两个电源引脚之间还包含一个 $0.01\mu F$ 电容器。在实际印刷电路板 (PCB) 布局布线中，该可选电容器通常可将二次谐波失真性能提高 $3dB$ 至 $6dB$ 。

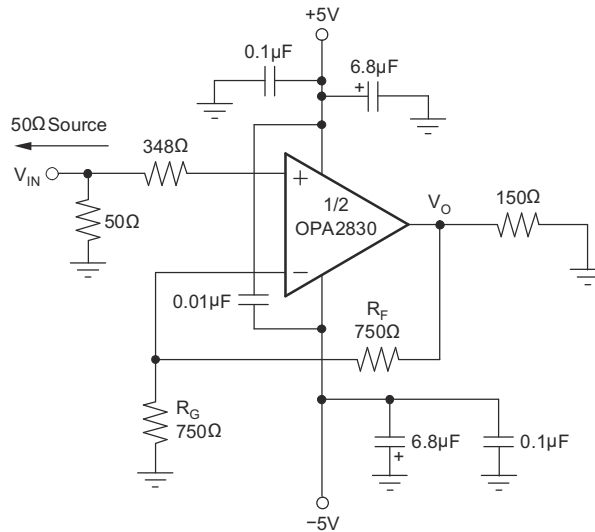


图 8-3. 直流耦合、 $G = +2$ 、双极电源规格和测试电路

8.1.2 单电源 ADC 接口

图 8-4 的 ADC 接口显示了直流耦合单电源 ADC 驱动器电路。许多系统现在都需要 ADC 和 ADC 驱动器具有 3V 至 5V 供电能力。OPA2830 可以在该严苛的应用中提供出色的性能。大输入和输出电压范围以及低失真支持第 1 页图的 ADS5203 等转换器。输入电平转换电路的设计使 V_{IN} 可介于 0V 和 0.5V 之间，同时为 ADS5203 提供 1V 至 2V 的输出电压。

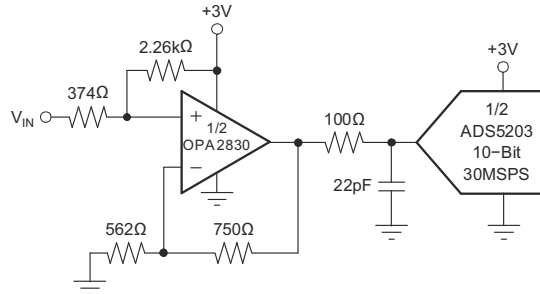


图 8-4. 直流耦合 3V ADC 驱动器

8.1.3 直流电平转换

图 8-5 显示了图 8-4 作为直流耦合同相放大器的一般形式，该放大器对输入向上进行电平转换以适应所需的输出电压范围。给定所需的信号增益 (G) 和当 V_{IN} 位于范围中心时必须上移的 V_{OUT} 量 (ΔV_{OUT})，以下公式可给出产生所需性能的电阻器阻值。假设 R_4 介于 200Ω 和 $1.5k\Omega$ 之间。

- $NG = G + V_{OUT}/V_S$
- $R_1 = R_4/G$
- $R_2 = R_4/(NG - G)$
- $R_3 = R_4/(NG - 1)$

其中：

- $NG = 1 + R_4/R_3$
- $V_{OUT} = (G)V_{IN} + (NG - G)V_S$

确保 V_{IN} 和 V_{OUT} 保持在指定的输入和输出电压范围内。

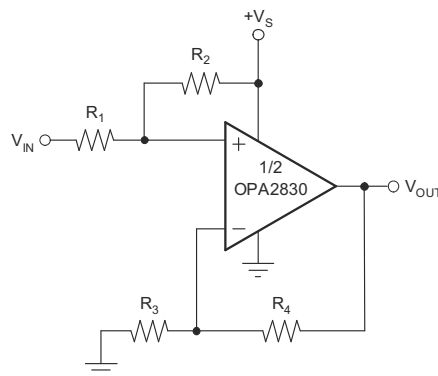


图 8-5. 直流电平转换

图 8-4 的电路是此类应用的一个很好的示例。该电路被设计为在使用 3V 电源时接受介于 0V 和 0.5V 之间的 V_{IN} 并产生介于 1V 和 2V 之间的 V_{OUT} 。这意味着 $G = 2.00$ ， $\Delta V_{OUT} = 1.50V - G \times 0.25V = 1.00V$ 。将这些值代入前面的公式 ($R_4 = 750\Omega$) 可得出： $NG = 2.33$ ， $R_1 = 375\Omega$ ， $R_2 = 2.25k\Omega$ ， $R_3 = 563\Omega$ 。电阻器更改为图 8-4 的电路最接近的标准值。

8.1.4 交流耦合输出视频线路驱动器

低功耗和低成本视频线路驱动器通常将增益为 2 的数模转换器 (DAC) 输出缓冲到双端接线路中。这些接口通常需要使用一个直流阻断电容器。对于简单的设计而言，该接口通常使用容值非常大的阻断电容器 ($220\ \mu\text{F}$) 来限制帧之间的倾斜度，即 SAG。图 8-7 显示了一种使用低得多的电容器容值来创建非常低的高通极点位置的方法。该电路在输出引脚上提供电压增益 2，并具有 8Hz 的高通极点。给定 $150\ \Omega$ 负载后，一种简单的阻断电容器方法需要 $133\ \mu\text{F}$ 容值。两个容值低得多的电容器使用图 8-7 的该简单 SAG 校正电路提供此相同的高通极点。

在图 8-7 中，使用正电源的分压器将输入稍微向正方向移动。该移动可提供大约 200mV 的输入直流失调电压，当 DAC 输出在视频信号的同步端部分处于零电流时，在输出引脚上显示为 400mV 直流失调电压。该失调电压用于将输出保持在线性工作区域内。该配置会以大约 -20dB 的增益将任何电源噪声传递到输出；因此，建议在电源引脚上进行良好的电源去耦。图 8-6 显示了图 8-7 的电路的频率响应。该图显示了 8Hz 低频高通极点和大约 100MHz 的高端截止频率。

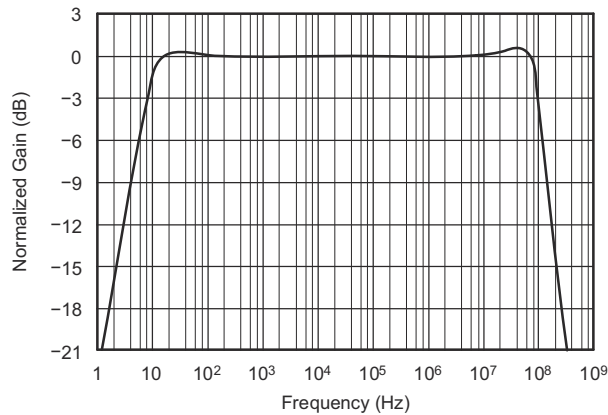


图 8-6. 视频线路驱动器对匹配负载的响应

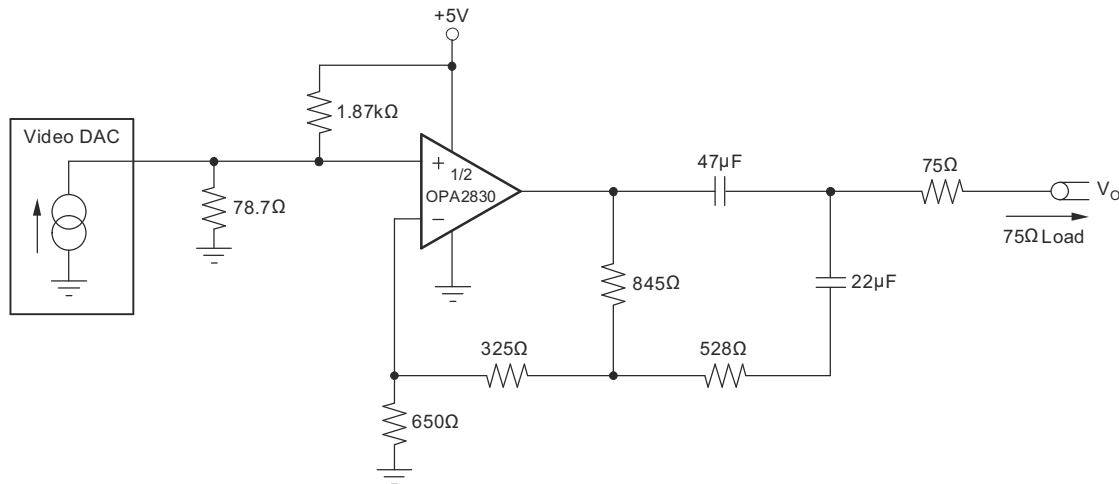


图 8-7. 具有 SAG 校正功能的视频线路驱动器

8.1.5 具有较小峰值的同相放大器

图 8-8 显示了一个可减小低增益下的峰值的同相放大器。电阻器 R_C 可补偿 OPA2830，以具有更高的噪声增益 (NG)，从而在不改变直流增益的情况下降低交流响应峰值 ($G = +1$ 时通常为 4dB，无 R_C)。 V_{IN} 需要是低阻抗源，例如运算放大器。

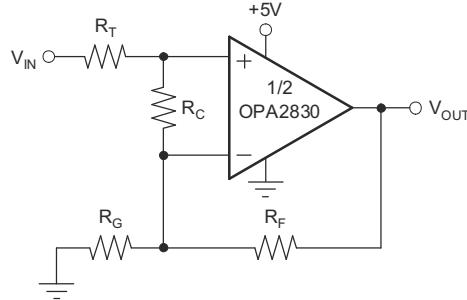


图 8-8. 经补偿的同相放大器

可以通过以下公式来计算噪声增益：

$$G_1 = 1 + \frac{R_F}{R_G} \quad (1)$$

$$G_2 = 1 + \frac{R_T + \frac{R_F}{G_1}}{R_C} \quad (2)$$

$$NG = G_1 \times G_2 \quad (3)$$

可以通过选择 $R_T = R_F = 20.0 \Omega$ 和 $R_C = 40.2 \Omega$ 来设计单位增益缓冲器 (不使用 R_G)。这可以提供值为 2 的噪声增益，因此响应与 $G = +2$ 时的特性图类似，可提供更小的峰值。

8.1.6 单电源有源滤波器

OPA2830 由单个 3V 或 5V 电源供电，非常适合高频有源滤波器设计。关键附加要求是在最高动态范围的电源中点附近建立信号的直流工作点。图 8-9 显示了采用 Sallen-Key 拓扑的 1MHz 低通巴特沃斯滤波器的设计示例。

输入信号和增益设置电阻器均使用 $0.1\ \mu\text{F}$ 阻断电容器进行交流耦合（实际提供带通响应，对于所示的元件值，低频极点设置为 32kHz ）。该配置允许由两个 $1.87\text{k}\Omega$ 电阻器形成的中点偏置出现在输入和输出引脚上。在这种情况下，中频信号增益被设置为 $+4$ (12dB)。同相输入端的接地电容器容值特意设计得较大，以主导输入寄生项。当增益为 $+4$ 时，采用单电源的 OPA2830 显示了 30MHz 小信号和大信号带宽。滤波器电阻器阻值经过细微调整，以解决放大器级中的该有限带宽问题。对该电路的测试表明，该电路具有精确的 1MHz 、 -3dB 点和最大平坦通带（高于 32kHz 交流耦合角），并且在放大器 -3dB 带宽为 30MHz 时具有 36dB 的最大阻带衰减。

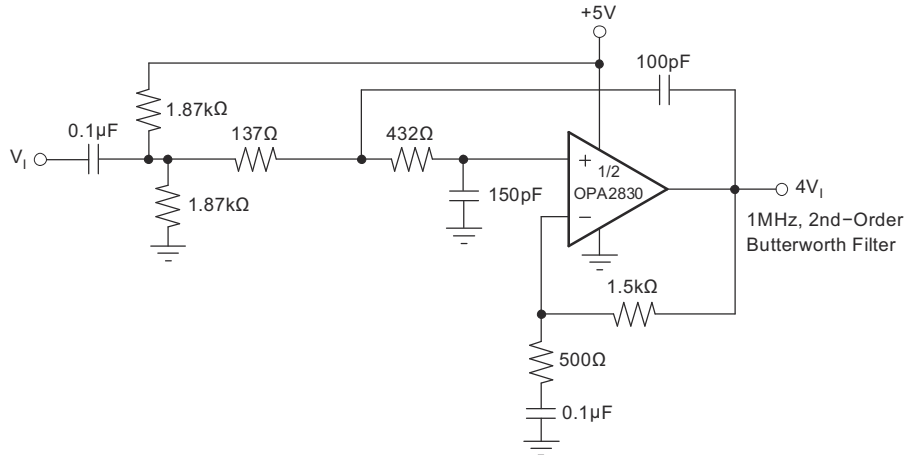


图 8-9. 单电源高频有源滤波器

8.1.7 差分低通有源滤波器

双通道 OPA2830 提供了一种实现低功耗差分有源滤波器的简单方法。图 8-10 显示了一种实现由单电源供电的二阶低通滤波器的方法。该电路提供了净差分增益 1 和精密的 5MHz 巴特沃斯响应。信号进行交流耦合（在低频时产生高通极点），电路的直流工作点由单位增益缓冲器 BUF602 设置。该缓冲器可为高频提供非常低的输出阻抗，从而保持精确的滤波器特性。如果源是已偏置到 OPA2830 输入 CMR 工作范围内的直流耦合信号，则可以移除这些电容器和中点偏置。为了获得所需的 5MHz 截止频率，滤波器的输入电阻器实际上为 119Ω。在图 8-10 中，这是作为直流偏置网络的一部分，在差分输入的每一半上实现的两个 238Ω 电阻器的并联组合。如果移除 BUF602，则这些电阻器必须简化回至单个 119Ω 输入电阻器。

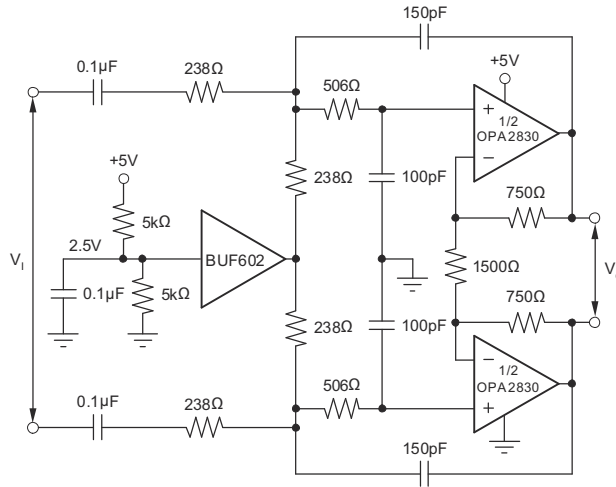


图 8-10. 单电源、二阶、低通 Sallen-Key 滤波器

以这种方式实施直流偏置也会将差分信号衰减一半。通过将放大器增益设置为 2V/V 来恢复此衰减，从而获取输入到输出的净单位增益滤波器特性。考虑到放大器级中的 100MHz 带宽，此处所示的滤波器设计还相对于计算值略微调整了电阻器阻值。同相输入端的滤波器电容器显示为两个单独的接地电容器。虽然将这两个电容器简化为连接到两个输入端的单个电容器（此电路中为 50pF）以获得相同的差分滤波特性肯定是正确的，但测试显示两个连接到低阻抗点的独立电容器用于衰减该电路中的共模反馈，从而在实际实施中实现更稳定的运行。图 8-11 显示了图 8-10 的滤波器的频率响应。

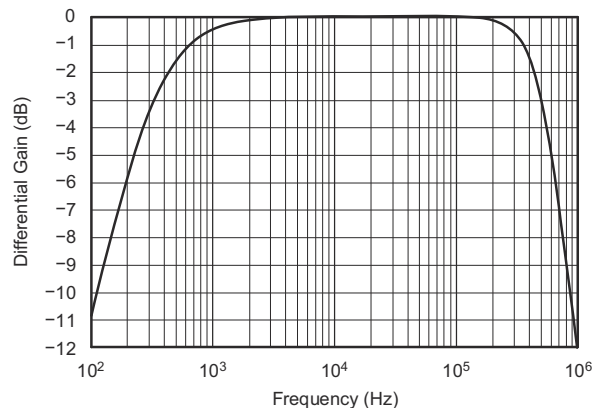


图 8-11. 5MHz、二阶、巴特沃斯低通滤波器

8.1.8 高通滤波器

图 8-12 显示了另一种实现 $1/2 V_s$ 偏置的方法。该方法使用旁路分压器网络代替图 8-10 中使用的缓冲器。阻抗由构成分压器网络的电阻器的并联组合设置，但随着频率的增加，阻抗看起来越来越像由于电容器而短路。通常，电容器容值必须比显示的滤波电容器大两到三个数量级才能使电路正常工作。

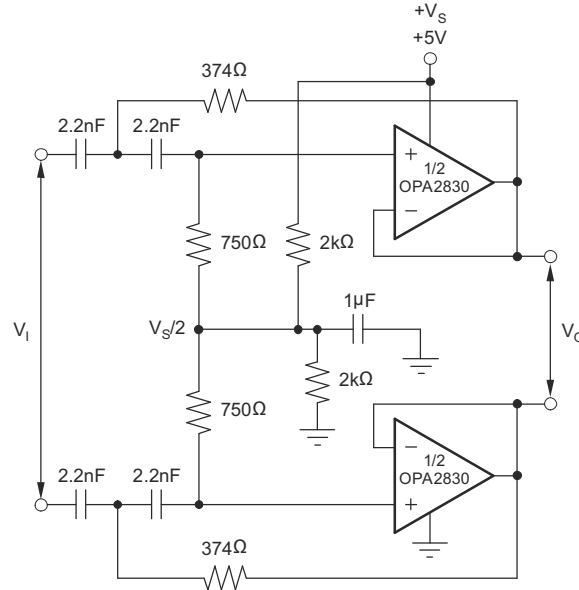


图 8-12. 138kHz、二阶高通滤波器

图 8-13 显示了图 8-12 的电路的频率响应结果。

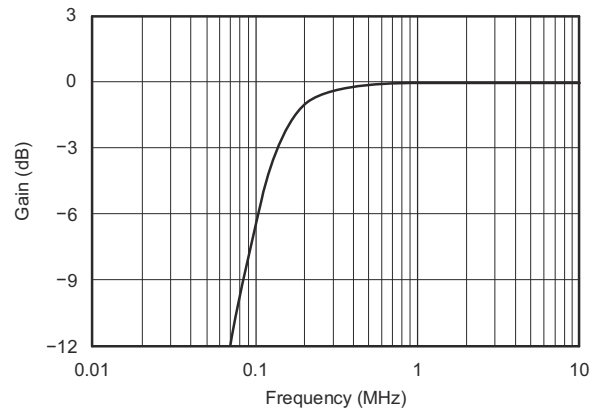


图 8-13. 图 8-12 的滤波器的频率响应

8.1.9 高性能 DAC 跨阻放大器

高频视频数模转换器 (DAC) 有时会受益于低失真输出放大器，从而在实际负载中保持 SFDR 性能。图 8-14 显示了差分输出驱动实现。该图显示了连接到 OPA2830 的一个或多个虚拟接地求和点的一个或多个信号输出电流，该器件被设置为跨阻级或 *I-V* 转换器。如果 DAC 输出需要端接至接地以外的顺从电压以正常运行，则可以向 OPA2830 的同相输入施加适当的电压电平。该电路的直流增益等于 R_F 。在高频下，DAC 输出电容 (图 8-14 中的 C_D) 在 OPA2830 的噪声增益中产生一个零点，这可能导致闭环频率响应中出现峰值。 R_F 上添加了 C_F ，以补偿该噪声增益峰值。为了实现平坦的跨阻频率响应，每个反馈网络中的极点可设置为：

$$\frac{1}{2\pi R_F C_F} = \sqrt{\frac{GBP}{4\pi R_F C_D}} \quad (4)$$

由此得出的截止频率 f_{-3dB} 约为：

$$f_{-3dB} = \sqrt{\frac{GBP}{2\pi R_F C_D}} \quad (5)$$

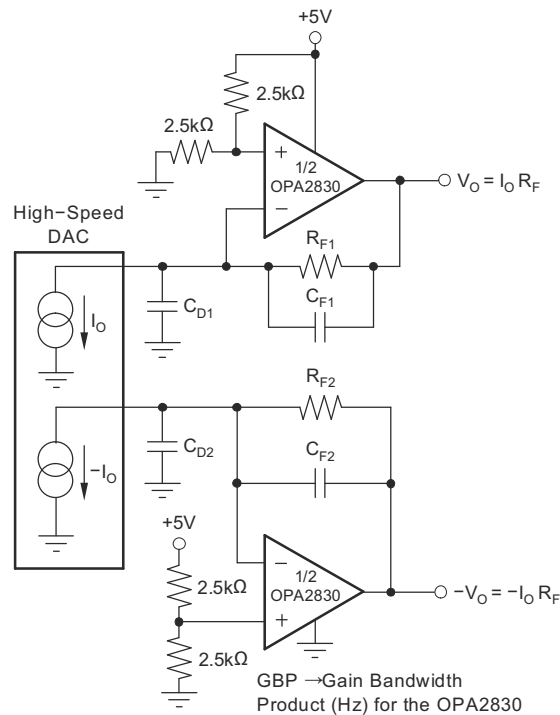


图 8-14. 高速 DAC 差分跨阻放大器

8.1.10 优化电阻器阻值的操作建议

OPA2830 是一款单位增益稳定的电压反馈运算放大器；因此，反馈和增益设置电阻器阻值具有很宽的范围。这些值的主要限制由动态范围（噪声和失真）和寄生电容考虑因素设定。对于同相单位增益跟随器应用，可以通过直接短接来建立反馈连接。

当低于 $200\ \Omega$ 时，反馈网络会产生额外的输出负载，这会使 OPA2830 的谐波失真性能降低。当高于 $1\text{k}\ \Omega$ 时，反馈电阻器上的典型寄生电容（约 0.2pF ）会导致放大器响应中产生意外的频带限制。

建议将 R_F 和 R_G 的并联组合（请参阅图 8-3）设为小于约 $400\ \Omega$ 。组合阻抗 $R_F \parallel R_G$ 与反相输入电容相互作用，在反馈网络中置入一个额外的极点，从而在正向响应中形成一个零点。假设反相节点上的总寄生电容为 2pF ，通过保持 $R_F \parallel R_G < 400\ \Omega$ ，可以使该极点高于 200MHz 。该约束意味着反馈电阻器 R_F 在高增益下可能会增加到几 $\text{k}\ \Omega$ 。只要 R_F 形成的极点和任何并联的寄生电容都不在目标频率范围内，这就是可以接受的。

在反相配置中，必须注意一个额外的设计注意事项。 R_G 成为输入电阻器，因此成为驱动源的负载阻抗。如果需要阻抗匹配，则可以将 R_G 设置为等于所需的端接值。但是，在低反相增益下，产生的反馈电阻器阻值可能会给放大器输出带来很大的负载。例如，使用 $50\ \Omega$ 输入匹配电阻器（= R_G ）时，要实现反相增益 2，则需要一个 $100\ \Omega$ 反馈电阻器，这将增大与外部负载并联的输出负载。在这种情况下，最好增加 R_F 和 R_G 值，然后通过第三个接地电阻器实现输入匹配阻抗（请参阅图 8-15）。总输入阻抗将成为 R_G 和附加分流电阻器的并联组合。

8.1.11 带宽与增益：同相运行

随着信号增益的增加，电压反馈运算放大器的闭环带宽会逐渐减小。从理论上讲，这种关系如规格中显示的增益带宽积 (GBP) 所述。这被设计为可通过将 GBP 除以同相信号增益（也称为噪声增益，即 NG）来预测出闭环带宽。在实际情况下，仅当相位裕度接近 90° 时这才会成立，正如高增益配置中一样。在低增益（增加反馈因子）的情况下，大多数放大器会呈现更复杂的响应并具有更小的相位裕度。OPA2830 经过补偿后在同相增益为 2 的情况下可提供略微达到峰值的响应（请参阅图 8-3）。该补偿可在 105MHz 带宽下获得 +2 的典型增益，这远远超过 105MHz GBP 除以 2 所预测出的结果。增加增益会使用相位裕度接近 90° ，并使带宽更接近 (GBP/NG) 的预测值。增益为 +10 时，电气特性中显示的 10MHz 带宽与使用简单公式和 105MHz 典型 GBP 预测的带宽一致。

只需将噪声增益增加到 3，即可修改增益为 +2 的频率响应以实现出色的平坦度。在不影响 +2 信号增益的情况下，一种方法是在两个输入之间添加一个 $2.55\text{k}\ \Omega$ 电阻器（另请参阅图 8-8）。可以使用类似的技术来降低单位增益（电压跟随器）应用中的峰值。例如，通过在两个运算放大器输入端使用一个 $750\ \Omega$ 反馈电阻器和一个 $750\ \Omega$ 电阻器，电压跟随器响应将类似于图 8-2 中的 +2 增益响应。进一步降低运算放大器输入端电阻器阻值会因噪声增益增加而进一步抑制频率响应。与 $\pm 5\text{V}$ 相比，单电源 (5V) 运行时 OPA2830 的带宽降幅极小。这种降幅最小的原因是，当电源引脚之间的总电源电压发生变化时，内部偏置控制电路可保持几乎恒定的静态电流。

8.1.12 反相放大器运行

设计人员可以使用 OPA2830 来实现所有熟悉的运算放大器应用电路。图 8-15 显示了典型的反相配置，其中图 8-1 中的 I/O 阻抗和信号增益保留在反相电路配置中。反相运行是更常见的要求之一，可提供多种性能优势。反相运行还使输入能够在 $V_S/2$ 处偏置，而不会出现任何余量问题。可以使用耦合电容器或偏置调节电阻器将输出电压独立移至输出电压范围内。

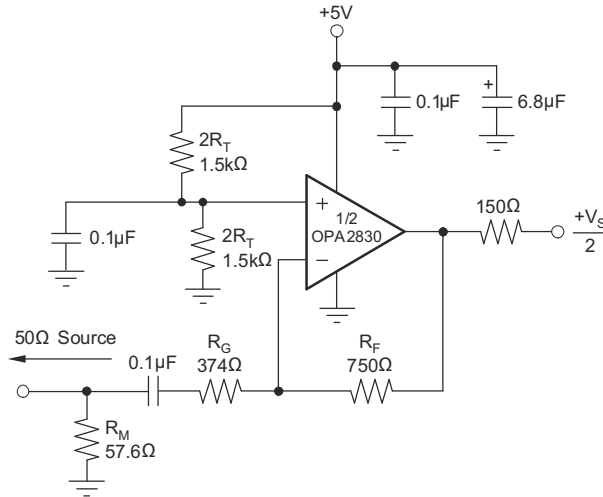


图 8-15. 交流耦合、 $G = -2$ 示例电路

在反相配置中，请考虑三个关键设计考虑因素。第一个考虑因素是增益电阻器 (R_G) 成为信号通道输入阻抗的一部分。如果需要输入阻抗匹配（每当信号通过电缆、双绞线、长 PCB 布线或其他传输线导体耦合时，这都很有用），可以将 R_G 设置为等于所需的端接值，并且可以调整 R_F 以提供所需的增益。这是最简单的方法，可实现最佳带宽和噪声性能。

但是，在低反相增益下，产生的反馈电阻器阻值可能会给放大器输出带来很大的负载。对于反相增益为 2 的情况，通过将 R_G 设置为 $50\ \Omega$ 以实现输入匹配，无需使用 R_M ，但需要使用 $100\ \Omega$ 反馈电阻器。该配置具有一个有趣的优势，即 $50\ \Omega$ 源阻抗的噪声增益变为 2，这与前面考虑的同相电路相同。放大器输出现在将 $100\ \Omega$ 反馈电阻器与外部负载并联。通常，反馈电阻器被限制在 $200\ \Omega$ 至 $1.5\text{k}\ \Omega$ 范围内。在这种情况下，最好增加 R_F 和 R_G 值（请参阅图 8-15），然后通过第三个接地电阻器 (R_M) 实现输入匹配阻抗。总输入阻抗成为 R_G 和 R_M 的并联组合。

上一段中提到的第二个主要考虑因素是信号源阻抗成为噪声增益公式的一部分，因此会影响带宽。对于图 8-15 中的示例， R_M 值与外部 $50\ \Omega$ 源阻抗（在高频下）并联，产生有效驱动阻抗 $50\ \Omega \parallel 57.6\ \Omega = 26.8\ \Omega$ 。该阻抗以与 R_G 串联的方式进行添加，用于计算噪声增益。对于图 8-15，产生的噪声增益为 2.87，而如果能够如上所述消除 R_M ，则噪声增益仅为 2。因此，图 8-15 中增益为 -2 的电路 ($NG = +2.87$) 的带宽可能低于图 8-1 中增益为 $+2$ 的电路的带宽。

反相放大器设计的第三个重要考虑因素是在同相输入端设置偏置电流消除电阻器 ($R_T = 750\ \Omega$ 的并联组合)。如果该电阻器被设置为等于来自反相节点的总直流电阻，则输出直流误差可能会由于输入偏置电流而减小为（输入失调电流）乘以 R_F 。将直流阻断电容器与 R_G 串联后，反相模式下的直流源阻抗仅为图 8-15 中的 $R_F = 750\ \Omega$ 。为了降低该电阻器和电源馈通引入的额外高频噪声，使用电容器绕过 R_T 。

8.1.13 输出电流和电压

OPA2830 可提供出色的输出电压性能。对于 5V 电源，在 25°C 的空载条件下，输出电压通常在任一电源轨的小于 90mV 范围内摆动。

在整个温度范围内，最小额定输出电压和电流规格是在极端寒冷的情况下通过最坏情况仿真设定的。只有在冷启动时，输出电流和电压才会降至表中所示的数字。当输出晶体管输出功率时，结温升高， V_{BE} 减小（可用的输出

电压摆幅增大)，而电流增益增大（可用的输出电流增大）。在稳态运行时，由于输出级结温高于最小额定工作环境温度，因此可用的输出电压和电流总是大于过热规格中所示的输出电压和电流。

8.1.14 驱动容性负载

对于运算放大器来说，要求最苛刻但很常见的负载条件之一是容性负载。通常情况下，容性负载是 ADC 的输入（包括推荐用于改善 ADC 线性度的附加外部电容）。当容性负载直接置于输出引脚上时，高速高开环增益放大器（如 OPA2830）可能非常容易降低稳定性和闭环响应峰值。当主要考虑因素为频率响应平坦度、脉冲响应保真度和/或失真时，最简单和最有效的方法是在放大器输出端与容性负载之间插入串联隔离电阻器来隔离容性负载与反馈环路。

典型特性曲线显示了建议的 R_S 与容性负载间的关系以及在该负载下产生的频率响应。大于 2pF 的寄生容性负载会开始降低 OPA2830 的性能。较长的 PC 板布线、不匹配的电缆以及连接到多个器件都会很容易导致超出该值。务必仔细考虑这种影响，并将建议的串联电阻器放置在尽可能靠近输出引脚的位置（请参阅 [电路板布局布线](#) 部分）。

设置该 R_S 电阻器的标准是在负载下实现最大带宽和平坦的频率响应。对于 +2 增益，在没有容性负载的情况下，输出引脚上的频率响应已经略微达到峰值，从而需要相对较高的 R_S 值来使负载下的响应变得平坦。增大噪声增益也会降低峰值（请参阅 [图 8-8](#)）。

8.1.15 失真性能

OPA2830 针对 150 Ω 负载提供了良好的失真性能。相对于替代方案，该器件可在由 3V 单电源供电以及较轻的负载条件下提供出色的性能。一般情况下，在基波信号达到非常高的频率或功率等级之前，二次谐波在失真中占主导，而三次谐波分量可以忽略不计。再关注二次谐波，增加负载阻抗可直接改善失真。请注意，总负载包括反馈网络；在同相配置中（请参阅 [图 8-3](#)），这是 $R_F + R_G$ 之和，而在反相配置中，仅必须包含与实际负载并联的 R_F 。以差分方式运行会抑制二次谐波；另请参阅差分 [典型特性](#)。

8.1.16 噪声性能

高压摆率、单位增益稳定、电压反馈运算放大器通常会以更高的输入噪声电压为代价来实现高压摆率。但 OPA2830 的输入电压噪声为 $9.2\text{nV}/\sqrt{\text{Hz}}$ ，远低于同类放大器。以输入为基准的电压噪声和两个以输入为基准的电流噪声项 ($2.8\text{pA}/\sqrt{\text{Hz}}$) 相结合，可在各种工作条件下提供低输出噪声。图 8-16 展示了包含所有噪声项的运算放大器噪声分析模型。在此模型中，所有的噪声项均视为噪声电压或电流密度项 (以 $\text{nV}/\sqrt{\text{Hz}}$ 或 $\text{pA}/\sqrt{\text{Hz}}$ 为单位)。

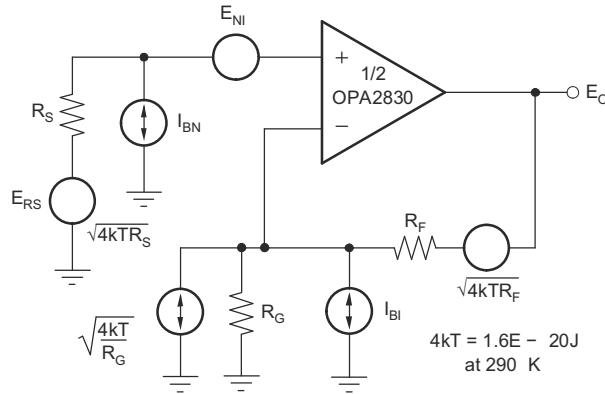


图 8-16. 噪声分析模型

总输出点噪声电压计算为所有输出噪声电压贡献项之和的平方根。方程式 6 使用图 8-16 所示的噪声项显示了输出噪声电压的一般形式：

$$E_O = \sqrt{\left(E_{NI}^2 + (I_{BN}R_S)^2 + 4kTR_S\right)NG^2 + (I_{BI}R_F)^2 + 4kTR_FNG} \quad (6)$$

将该表达式除以噪声增益

($NG = (1 + R_F/R_G)$) 可得出同相输入端的等效输入基准点噪声电压，如方程式 7 中所示：

$$E_N = \sqrt{E_{NI}^2 + (I_{BN}R_S)^2 + 4kTR_S + \left(\frac{I_{BI}R_F}{NG}\right)^2 + \frac{4kTR_F}{NG}} \quad (7)$$

将图 8-1 中所示的电路和元件值代入这些公式，可计算得出总输出点噪声电压为 $19.3\text{nV}/\sqrt{\text{Hz}}$ ，而总等效输入点噪声电压为 $9.65\text{nV}/\sqrt{\text{Hz}}$ 。该结果包括电阻器增加的噪声。该以输入为基准的总点噪声电压并非远高于单独的运算放大器电压噪声规格 $9.2\text{nV}/\sqrt{\text{Hz}}$ 。

8.1.17 直流精度和偏移控制

宽带电压反馈运算放大器的平衡输入级可在各种应用中实现良好的输出直流精度。OPA2830 的电源电流调整功能可以比同类产品实现更严格的控制。尽管高速输入级确实需要相对较高的输入偏置电流（通常是每个输入端子需要 $5\ \mu\text{A}$ ），但其之间的紧密匹配可用于减小由该电流引起的输出直流误差。这是通过匹配两个输入端的直流源电阻来实现的。通过评估图 8-3 的配置（具有匹配的直流输入电阻）可知，使用最坏情况 $+25^\circ\text{C}$ 输入失调电压和电流规格，得出最坏情况输出失调电压等于：

- （NG = 直流下的同相信号增益）
- $\pm(\text{NG} \times V_{\text{OS}(\text{MAX})}) + (R_{\text{F}} \times I_{\text{OS}(\text{MAX})})$
- $= \pm(2 \times 7.5\text{mV}) \times (375\Omega \times 1.1\ \mu\text{A})$
- $= \pm 15.41\text{mV}$

通常需要精密的输出失调电压消除或直流工作点调整。有很多技术可用于将直流失调电压控制引入到运算放大器电路中。这些技术大多基于通过反馈电阻器添加直流电流。在选择失调电压修整方法时，一个关键考虑因素是对所需信号路径频率响应的影响。如果信号路径打算是同相的，则最好对反相求和信号应用失调电压控制，以避免与信号源相互作用。如果信号路径打算是反相的，则可以考虑对同相输入应用失调电压控制。通过远大于信号路径电阻器的电阻器阻值，将直流失调电流引入反相输入节点。这可以确保调节电路对环路增益的影响极小，因此对频率响应的影响也很小。

8.2 电源相关建议

8.2.1 热分析

所需的最高结温决定了允许的最大内部功率耗散。不要超出 150°C 的结温上限。

工作结温 (T_J) 由 $T_A + P_D \times \theta_{JA}$ 给出。总内部功率耗散 (P_D) 是静态功耗 (P_{DQ}) 和输出级中用于提供负载功率的额外功耗 (P_{DL}) 的总和。静态功耗是指定的空载电源电流乘以整个器件的总电源电压。 P_{DL} 取决于所需的输出信号和负载；不过，对于连接到 $V_S/2$ 的阻性负载，当输出固定在等于 $V_S/4$ 或 $3V_S/4$ 的电压时， P_{DL} 处于最大值。在此条件下， $P_{DL} = V_S^2 / (16 \times R_L)$ ，其中的 R_L 包括反馈网络负载。

这是输出级中的功耗，而不是决定了内部功率耗散的负载中的功耗。

作为最坏情况下的示例，使用图 8-3 所示在 85°C 最高额定环境温度下运行并在两个输出上在 $2.5V_{DC}$ 下驱动 150 Ω 负载的电路中的 OPA2830 (VSSOP-8 封装) 计算最大 T_J 。

$$P_D = 10V \times 11.9mA + 2 \times [5^2 / (16 \times (150 \Omega \parallel 1500 \Omega))] = 142mW$$

$$\text{最大 } T_J = +85^\circ\text{C} + (0.142W \times 122.6^\circ\text{C/W}) = 102.5^\circ\text{C}。$$

尽管该结果仍然远低于额定最大结温，但出于系统可靠性方面的考虑，需要较低的结温。如果负载需要在高输出电压下强制电流进入输出端或从低输出电压下的输出端提供电流，则会发生最高的可能内部耗散。该配置通过输出晶体管中较大的内部压降强制实现高电流。

8.3 布局

8.3.1 电路板布局布线准则

为了使用 OPA2830 等高频放大器实现最佳性能，需要特别注意电路板布局布线寄生效应和外部元件类型。优化性能的建议包括：

a) 尽可能减小所有信号 I/O 引脚的连接到任何交流接地端的寄生电容。 输出引脚和反相输入引脚上的寄生电容可能导致不稳定；在同相输入端，电容可与源阻抗发生反应，造成意外的频带限制。为了减少不必要的电容，可以在这些引脚周围的所有接地平面和电源平面中打开信号 I/O 引脚周围的窗口。否则，接地平面和电源平面可以在电路板上的其他地方完好无损。

b) 尽可能减小电源引脚到高频 0.1 μF 去耦电容器的距离 (< 0.25")。 在器件引脚上，接地平面和电源平面布局不能靠近信号 I/O 引脚。避免电源布线和接地布线过于狭窄，以便尽可能减小引脚和去耦电容器之间的电感。每个电源接头始终与这些电容器之一解耦。两个电源 (适用于双极性工作模式) 之间的可选电源解耦电容器 (0.1 μF) 可改善二次谐波失真性能。也可以在主电源引脚上使用较大的 (2.2 μF 至 6.8 μF) 去耦电容器 (在较低频率下有效)。可将这些电容器放得离器件远一些，并可在 PC 板同一区域内的多个器件之间共享这些电容器。

c) 谨慎选择和放置外部元件以保持高频性能。 电阻器必须是电抗非常低的类型。表面贴装式电阻器最适合，并可实现更紧密的总体布局。金属膜或碳成分的轴向引线电阻器也可以提供良好的高频性能。同样，尽可能缩短引线和 PCB 布线。切勿在高频应用中使用绕线式电阻器。由于输出引脚和反相输入引脚对寄生电容极为敏感；因此务必将反馈电阻器和串联输出电阻器 (如有) 尽可能靠近输出引脚放置。其他网络元件 (例如同相输入终端电阻器) 也可以放置在封装附近。在允许双面组件安装的情况下，将反馈电阻器直接放置在电路板另一面封装下面，即输出引脚和反相输入引脚之间。即使很小的寄生电容对外部电阻器进行分流，过高的电阻值也会产生明显的时间常数，从而降低性能。良好的轴向金属膜或表面贴装电阻器有大约 0.2pF 的电容与电阻器并联。对于大于 1.5k Ω 的电阻器阻值，该寄生电容可能在 500MHz 以下添加一个极点和/或零点，从而影响电路运行。根据负载驱动注意事项的要求，尽可能降低电阻值。“典型特性”中使用的 750 Ω 反馈是设计的良好起点。

d) 与电路板上其他宽带器件的连接 可以使用较短的直接布线或通过板载传输线来实现。对于短连接，应考虑将布线和下一个器件的输入视为集总容性负载。可以使用相对较宽的布线 (50mil 至 100mil)，最好在其周围打开接地平面和电源平面。估算总容性负载并设置 R_S (根据典型特性曲线建议的 R_S 与容性负载间的关系)。低寄生容性负载 (小于 5pF) 不需要 R_S ，因为 OPA2830 会在名义上得到补偿，从而使用 2pF 的寄生负载运行。随着信号增益的增加 (增加空载相位裕度)，允许没有 R_S 的更高寄生容性负载。如果需要很长的布线，并且可以接受双端接传输线固有的 6dB 信号损耗，则可以使用微带或带状线技术来实施匹配阻抗传输线 (有关微带和带状线布局技

术，请参阅 ECL 设计手册)。电路板上通常不需要 $50\ \Omega$ 阻抗的环境；实际上，较高阻抗的环境可以改善失真，如失真与负载关系图中所示。在电路板上使用连接到 OPA2830 输出端引线的匹配串联电阻器，以及位于目标器件输入端的终端分流电阻器（这些电阻器具有根据电路板材料和引线尺寸定义的特性电路板引线阻抗）。还应注意，端接阻抗是分流电阻和目标器件输入阻抗的并联组合；可以将该总有效阻抗设置为与引线阻抗相匹配。如果不能接受双端接传输线的 6dB 衰减，则只能在源端对长引线进行串联短接。在这种情况下，应将引线视为容性负载，并按照典型特性曲线 *建议的 R_S 与容性负载间的关系* 所示设置串联电阻器阻值。这种配置不能保持信号完整性以及双短接线路。如果目标器件的输入阻抗较低，则由于连接到端接阻抗的串联输出会形成分压器，因此会出现一定程度的信号衰减。

e) 请勿通过插座连接高速器件。由插座引起的额外引线长度和引脚间电容可能会造成非常麻烦的寄生网络，从而几乎不可能实现平稳的频率响应。通过将 OPA2830 焊接到电路板上可获得最佳效果。

8.3.1.1 输入和 ESD 保护

OPA2830 采用非常高速的互补双极性工艺制造而成。这些非常小的几何器件的内部结击穿电压相对较低。这些细目反映在 *绝对最大额定值* 表中。如图 8-17 所示，所有器件引脚都由连接到电源的内部 ESD 保护二极管进行保护。

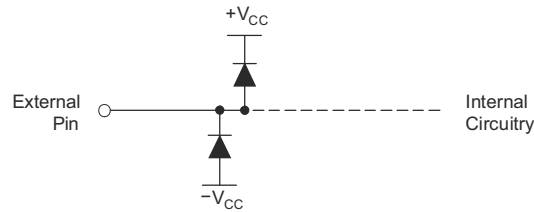


图 8-17. 内部 ESD 保护

这些二极管还针对大于电源电压的输入过驱电压提供温和保护。这些保护二极管通常可支持 30mA 的连续电流。在可能有较高电流的情况下（即在将 $\pm 15\text{V}$ 电源器件驱动到 OPA2830 中的系统中），应在两个输入端添加限流串联电阻器。应尽可能降低这些电阻器的电阻值，因为高电阻值会降低噪声性能和频率响应。

9 器件和文档支持

TI 提供广泛的开发工具。下面列出了用于评估器件性能、生成代码和开发解决方案的工具和软件。

9.1 器件支持

9.1.1 设计工具

9.1.1.1 演示装置

我们提供两块印刷电路板 (PCB)，可帮助初步评估使用 OPA2830 和两个封装选项时的电路性能。两块电路板都作为空白 PCB 免费提供，并随附一份用户指南。这些装置的摘要信息如表 9-1 所示。

表 9-1. 不同封装的演示装置

产品	封装	订购号	文献编号
OPA2830ID	SOIC-8	DEM-OPA-SO-2A	SBOU003
OPA2830IDGK	VSSOP-8	DEM-OPA-MSOP-2A	SBOU004

可在德州仪器 (TI) 网站 (www.ti.com) 上的 [OPA2830 产品文件夹](#) 下申请这些演示装置。

9.1.1.2 宏模型和应用支持

使用 SPICE 对电路性能进行计算机仿真通常是分析 OPA2830 电路设计性能的快速方法。对于视频和射频放大器电路而言尤其如此，在这些电路中，寄生电容和电感可能对电路性能具有重大的影响。可以通过 TI 网页 (www.ti.com) 获取 OPA2830 的 SPICE 模型。应用部门也可提供设计帮助。这些模型预测了各种工作条件下的典型小信号交流、瞬态阶跃、直流性能和噪声。这些模型包括数据表电气规格中的噪声项。这些模型不会尝试区分小信号交流性能中的封装类型。

9.2 接收文档更新通知

要接收文档更新通知，请导航至 ti.com 上的器件产品文件夹。点击 [通知](#) 进行注册，即可每周接收产品信息更改摘要。有关更改的详细信息，请查看任何已修订文档中包含的修订历史记录。

9.3 支持资源

[TI E2E™ 中文支持论坛](#) 是工程师的重要参考资料，可直接从专家处获得快速、经过验证的解答和设计帮助。搜索现有解答或提出自己的问题，获得所需的快速设计帮助。

链接的内容由各个贡献者“按原样”提供。这些内容并不构成 TI 技术规范，并且不一定反映 TI 的观点；请参阅 TI 的 [使用条款](#)。

9.4 商标

TI E2E™ is a trademark of Texas Instruments.

所有商标均为其各自所有者的财产。

9.5 静电放电警告



静电放电 (ESD) 会损坏这个集成电路。德州仪器 (TI) 建议通过适当的预防措施处理所有集成电路。如果不遵守正确的处理和安装程序，可能会损坏集成电路。

ESD 的损坏小至导致微小的性能降级，大至整个器件故障。精密的集成电路可能更容易受到损坏，这是因为非常细微的参数更改都可能会导致器件与其发布的规格不相符。

9.6 术语表

[TI 术语表](#) 本术语表列出并解释了术语、首字母缩略词和定义。

10 修订历史记录

注：以前版本的页码可能与当前版本的页码不同

Changes from Revision D (August 2008) to Revision E (December 2024)	Page
• 更新了整个文档中的表格、图和交叉参考的编号格式.....	1
• 添加了封装信息表、引脚功能表、ESD 等级、热性能信息、建议运行条件和详细说明部分.....	1
• 更新了电气特性以匹配器件性能.....	4
• 更新了典型特性中的图.....	11
• 使用新的 θ_{JA} 更新了热分析.....	39

Changes from Revision C (March 2006) to Revision D (August 2008)	Page
• 将“绝对最大额定值”表中的贮存温度范围额定值从“-40°C 至 +125°C”更改成了“-65°C 至 +125°C”.	3

Changes from Revision B (February 2006) to Revision C (August 2008)	Page
• 将差分输入电压从 $\pm 1.2V$ 更改成了 $\pm 2.5V$	3

11 机械、封装和可订购信息

以下页面包含机械、封装和可订购信息。这些信息是指定器件可用的最新数据。数据如有变更，恕不另行通知，且不会对此文档进行修订。有关此数据表的浏览器版本，请查阅左侧的导航栏。

PACKAGING INFORMATION

Orderable Device	Status (1)	Package Type	Package Drawing	Pins	Package Qty	Eco Plan (2)	Lead finish/ Ball material (6)	MSL Peak Temp (3)	Op Temp (°C)	Device Marking (4/5)	Samples
OPA2830ID	OBSOLETE	SOIC	D	8		TBD	Call TI	Call TI	-40 to 85	OPA 2830	
OPA2830IDGKR	ACTIVE	VSSOP	DGK	8	2500	RoHS & Green	Call TI NIPDAUAG NIPDAU	Level-2-260C-1 YEAR	-40 to 85	A59	Samples
OPA2830IDGKT	OBSOLETE	VSSOP	DGK	8		TBD	Call TI	Call TI	-40 to 85	A59	
OPA2830IDR	ACTIVE	SOIC	D	8	2500	RoHS & Green	NIPDAU	Level-2-260C-1 YEAR	-40 to 85	OPA 2830	Samples

(1) The marketing status values are defined as follows:

ACTIVE: Product device recommended for new designs.

LIFEBUY: TI has announced that the device will be discontinued, and a lifetime-buy period is in effect.

NRND: Not recommended for new designs. Device is in production to support existing customers, but TI does not recommend using this part in a new design.

PREVIEW: Device has been announced but is not in production. Samples may or may not be available.

OBSOLETE: TI has discontinued the production of the device.

(2) **RoHS:** TI defines "RoHS" to mean semiconductor products that are compliant with the current EU RoHS requirements for all 10 RoHS substances, including the requirement that RoHS substance do not exceed 0.1% by weight in homogeneous materials. Where designed to be soldered at high temperatures, "RoHS" products are suitable for use in specified lead-free processes. TI may reference these types of products as "Pb-Free".

RoHS Exempt: TI defines "RoHS Exempt" to mean products that contain lead but are compliant with EU RoHS pursuant to a specific EU RoHS exemption.

Green: TI defines "Green" to mean the content of Chlorine (Cl) and Bromine (Br) based flame retardants meet JS709B low halogen requirements of <=1000ppm threshold. Antimony trioxide based flame retardants must also meet the <=1000ppm threshold requirement.

(3) MSL, Peak Temp. - The Moisture Sensitivity Level rating according to the JEDEC industry standard classifications, and peak solder temperature.

(4) There may be additional marking, which relates to the logo, the lot trace code information, or the environmental category on the device.

(5) Multiple Device Markings will be inside parentheses. Only one Device Marking contained in parentheses and separated by a "~" will appear on a device. If a line is indented then it is a continuation of the previous line and the two combined represent the entire Device Marking for that device.

(6) Lead finish/Ball material - Orderable Devices may have multiple material finish options. Finish options are separated by a vertical ruled line. Lead finish/Ball material values may wrap to two lines if the finish value exceeds the maximum column width.

Important Information and Disclaimer:The information provided on this page represents TI's knowledge and belief as of the date that it is provided. TI bases its knowledge and belief on information provided by third parties, and makes no representation or warranty as to the accuracy of such information. Efforts are underway to better integrate information from third parties. TI has taken and

continues to take reasonable steps to provide representative and accurate information but may not have conducted destructive testing or chemical analysis on incoming materials and chemicals. TI and TI suppliers consider certain information to be proprietary, and thus CAS numbers and other limited information may not be available for release.

In no event shall TI's liability arising out of such information exceed the total purchase price of the TI part(s) at issue in this document sold by TI to Customer on an annual basis.

TAPE AND REEL INFORMATION

QUADRANT ASSIGNMENTS FOR PIN 1 ORIENTATION IN TAPE


*All dimensions are nominal

Device	Package Type	Package Drawing	Pins	SPQ	Reel Diameter (mm)	Reel Width W1 (mm)	A0 (mm)	B0 (mm)	K0 (mm)	P1 (mm)	W (mm)	Pin1 Quadrant
OPA2830IDGKR	VSSOP	DGK	8	2500	330.0	12.4	5.3	3.4	1.4	8.0	12.0	Q1
OPA2830IDR	SOIC	D	8	2500	330.0	12.4	6.4	5.2	2.1	8.0	12.0	Q1

TAPE AND REEL BOX DIMENSIONS


*All dimensions are nominal

Device	Package Type	Package Drawing	Pins	SPQ	Length (mm)	Width (mm)	Height (mm)
OPA2830IDGKR	VSSOP	DGK	8	2500	356.0	356.0	35.0
OPA2830IDR	SOIC	D	8	2500	356.0	356.0	35.0



D0008A

PACKAGE OUTLINE

SOIC - 1.75 mm max height

SMALL OUTLINE INTEGRATED CIRCUIT



4214825/C 02/2019

NOTES:

1. Linear dimensions are in inches [millimeters]. Dimensions in parenthesis are for reference only. Controlling dimensions are in inches. Dimensioning and tolerancing per ASME Y14.5M.
2. This drawing is subject to change without notice.
3. This dimension does not include mold flash, protrusions, or gate burrs. Mold flash, protrusions, or gate burrs shall not exceed $.006$ [0.15] per side.
4. This dimension does not include interlead flash.
5. Reference JEDEC registration MS-012, variation AA.

EXAMPLE BOARD LAYOUT

D0008A

SOIC - 1.75 mm max height

SMALL OUTLINE INTEGRATED CIRCUIT



LAND PATTERN EXAMPLE
 EXPOSED METAL SHOWN
 SCALE:8X



SOLDER MASK DETAILS

4214825/C 02/2019

NOTES: (continued)

- 6. Publication IPC-7351 may have alternate designs.
- 7. Solder mask tolerances between and around signal pads can vary based on board fabrication site.

EXAMPLE STENCIL DESIGN

D0008A

SOIC - 1.75 mm max height

SMALL OUTLINE INTEGRATED CIRCUIT



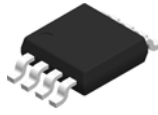
SOLDER PASTE EXAMPLE
BASED ON .005 INCH [0.125 MM] THICK STENCIL
SCALE:8X

4214825/C 02/2019

NOTES: (continued)

8. Laser cutting apertures with trapezoidal walls and rounded corners may offer better paste release. IPC-7525 may have alternate design recommendations.
9. Board assembly site may have different recommendations for stencil design.

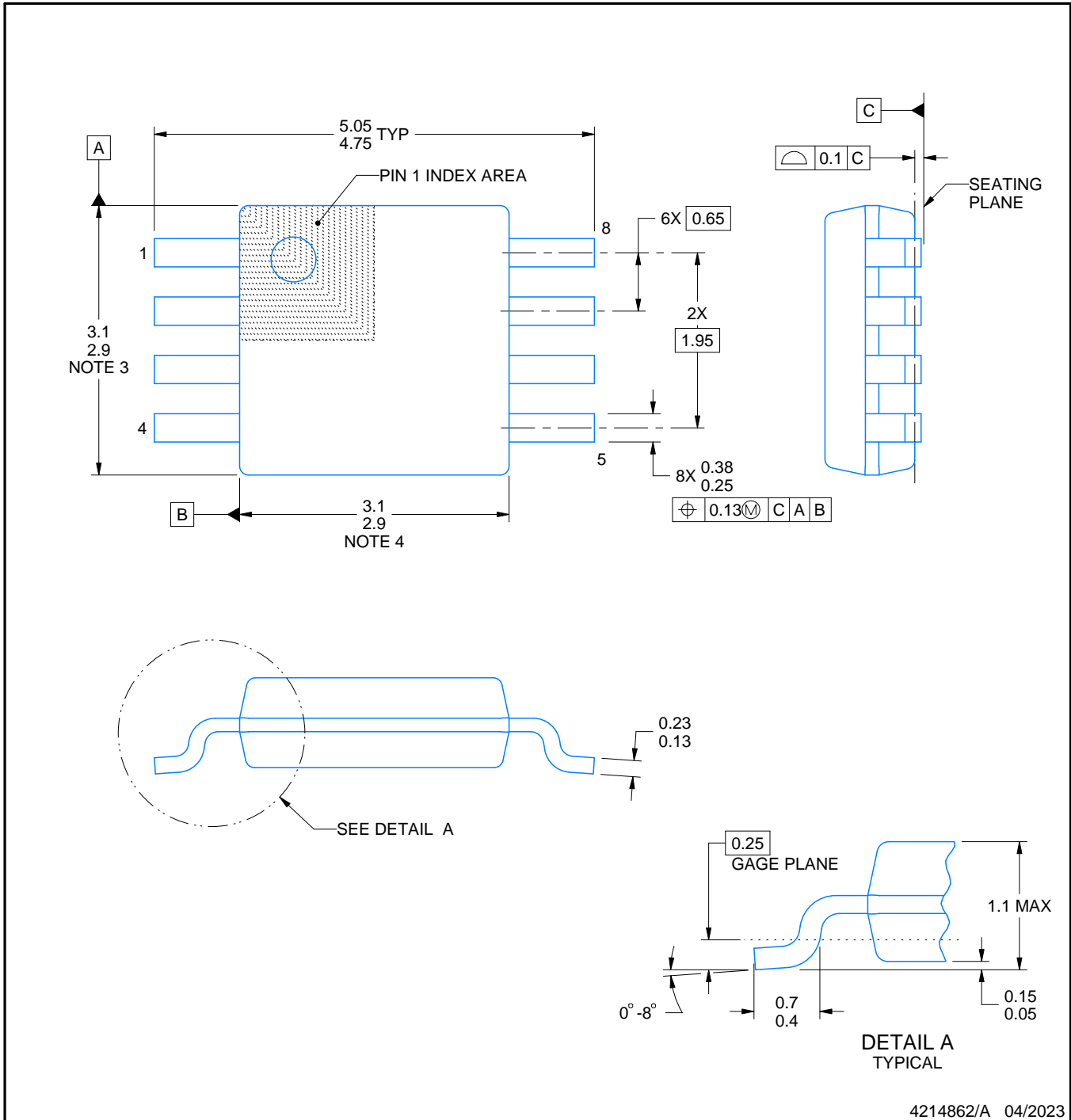
DGK0008A



PACKAGE OUTLINE

VSSOP - 1.1 mm max height

SMALL OUTLINE PACKAGE



4214862/A 04/2023

NOTES:

PowerPAD is a trademark of Texas Instruments.

1. All linear dimensions are in millimeters. Any dimensions in parenthesis are for reference only. Dimensioning and tolerancing per ASME Y14.5M.
2. This drawing is subject to change without notice.
3. This dimension does not include mold flash, protrusions, or gate burrs. Mold flash, protrusions, or gate burrs shall not exceed 0.15 mm per side.
4. This dimension does not include interlead flash. Interlead flash shall not exceed 0.25 mm per side.
5. Reference JEDEC registration MO-187.

EXAMPLE BOARD LAYOUT

DGK0008A

™ VSSOP - 1.1 mm max height

SMALL OUTLINE PACKAGE



LAND PATTERN EXAMPLE
EXPOSED METAL SHOWN
SCALE: 15X



4214862/A 04/2023

NOTES: (continued)

6. Publication IPC-7351 may have alternate designs.
7. Solder mask tolerances between and around signal pads can vary based on board fabrication site.
8. Vias are optional depending on application, refer to device data sheet. If any vias are implemented, refer to their locations shown on this view. It is recommended that vias under paste be filled, plugged or tented.
9. Size of metal pad may vary due to creepage requirement.

EXAMPLE STENCIL DESIGN

DGK0008A

™ VSSOP - 1.1 mm max height

SMALL OUTLINE PACKAGE



SOLDER PASTE EXAMPLE
SCALE: 15X

4214862/A 04/2023

NOTES: (continued)

11. Laser cutting apertures with trapezoidal walls and rounded corners may offer better paste release. IPC-7525 may have alternate design recommendations.
12. Board assembly site may have different recommendations for stencil design.

重要通知和免责声明

TI“按原样”提供技术和可靠性数据（包括数据表）、设计资源（包括参考设计）、应用或其他设计建议、网络工具、安全信息和其他资源，不保证没有瑕疵且不做任何明示或暗示的担保，包括但不限于对适销性、某特定用途方面的适用性或不侵犯任何第三方知识产权的暗示担保。

这些资源可供使用 TI 产品进行设计的熟练开发人员使用。您将自行承担以下全部责任：(1) 针对您的应用选择合适的 TI 产品，(2) 设计、验证并测试您的应用，(3) 确保您的应用满足相应标准以及任何其他功能安全、信息安全、监管或其他要求。

这些资源如有变更，恕不另行通知。TI 授权您仅可将这些资源用于研发本资源所述的 TI 产品的相关应用。严禁以其他方式对这些资源进行复制或展示。您无权使用任何其他 TI 知识产权或任何第三方知识产权。您应全额赔偿因在这些资源的使用中对 TI 及其代表造成的任何索赔、损害、成本、损失和债务，TI 对此概不负责。

TI 提供的产品受 [TI 的销售条款](#) 或 [ti.com](#) 上其他适用条款/TI 产品随附的其他适用条款的约束。TI 提供这些资源并不会扩展或以其他方式更改 TI 针对 TI 产品发布的适用的担保或担保免责声明。

TI 反对并拒绝您可能提出的任何其他或不同的条款。

邮寄地址：Texas Instruments, Post Office Box 655303, Dallas, Texas 75265
版权所有 © 2025，德州仪器 (TI) 公司